

Historie a současnost zobrazovacích systémů MR v ČR

Jaroslav Tintěra
IKEM



Nikola Tesla: génius, který dal jméno magnetickému poli



Objev jaderné magnetické rezonance (NMR)

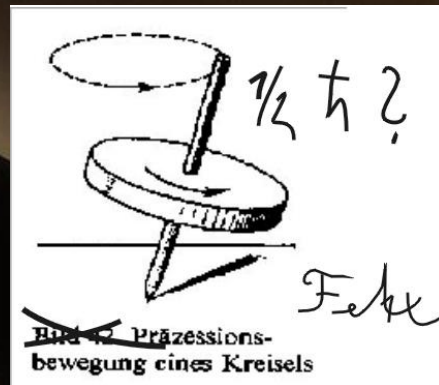
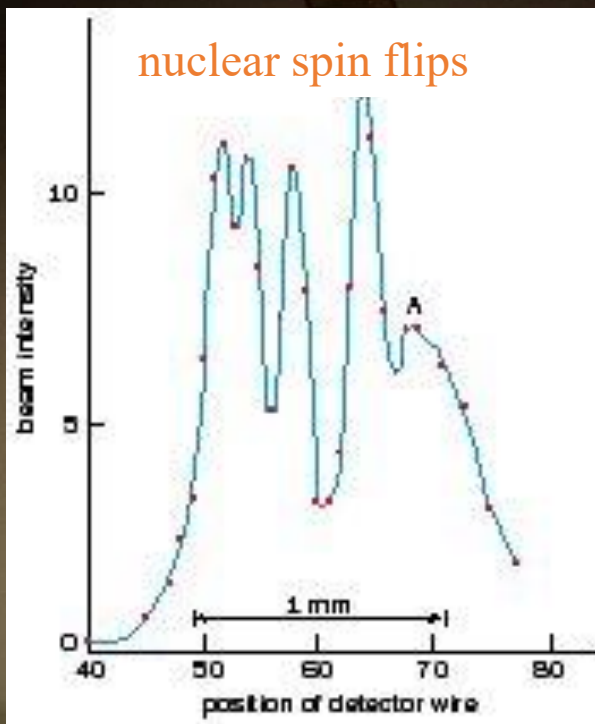


Isidor Rabi

*rezonanční experiment
s magnetickými vlastnostmi jádra
1933*

The Nobel Prize in Physics 1944

"for his resonance method for recording the magnetic properties of atomic nuclei"



Felix Bloch

Stanford



Edward Purcell

Harvard

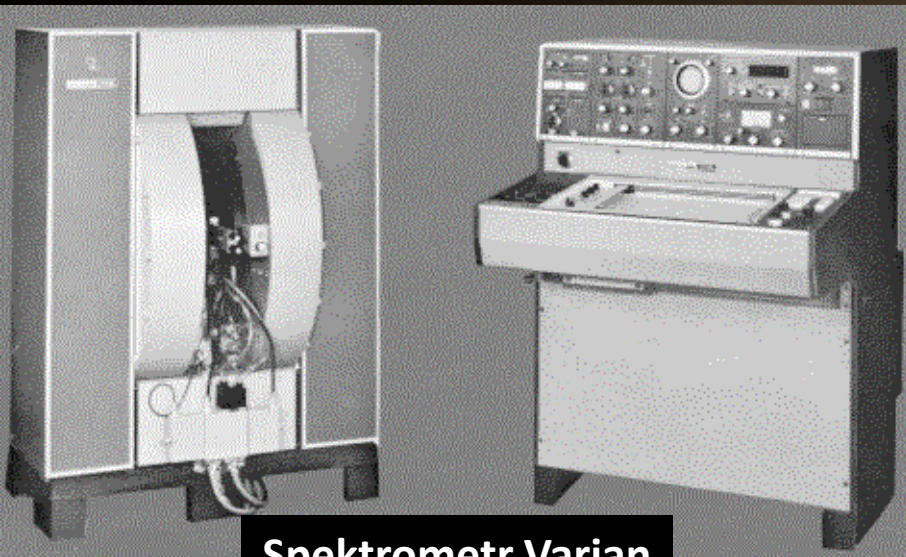
*nukleární magnetická rezonance
1945*

The Nobel Prize in Physics 1952

"for their development of new methods for nuclear magnetic precision measurements and discoveries in connection therewith"



Chemická 50. a 60. léta NMR

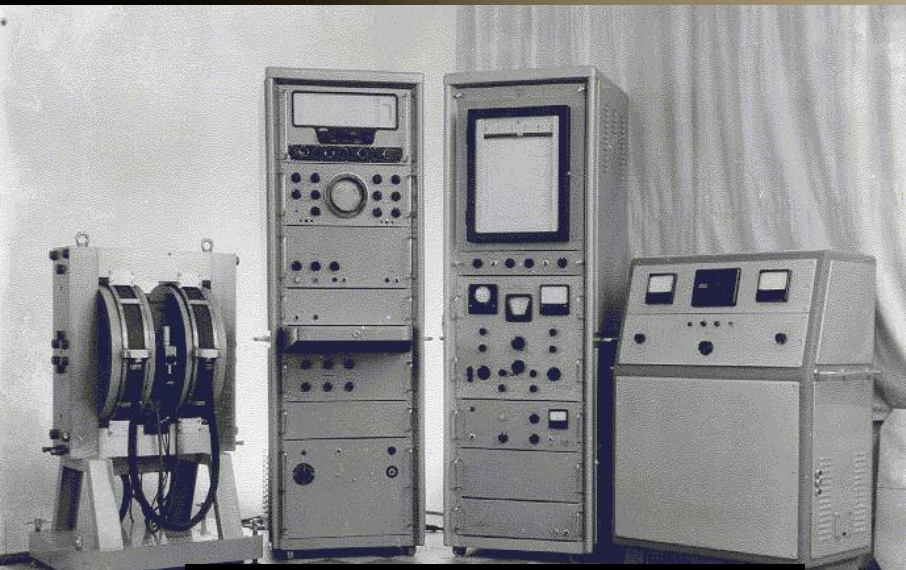
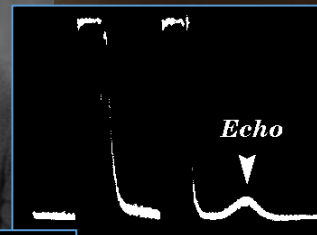


Spektrometr Varian



Erwin Hahn

1950



Spektrometr ÚPT Brno 1961



Josef Dadok

1960

Biologická 70. léta: uplatnění v medicíně?



Raymond Damadian

1971:
*relaxační konstanty
tkání a tumoru se liší*

MR zobrazování (MRI) a spektroskopie „in vitro“



Paul Lauterbur



Peter Mansfield

Paul Lauterbur

1973: 1. MRI zkumavky s vodou

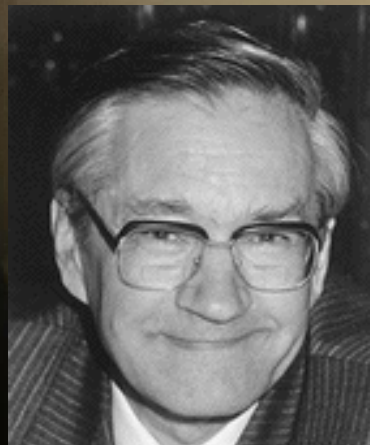
Peter Mansfield

1973: teorie k-prostoru

1977: návrh Echo-Planar imaging (EPI)



The Nobel Prize in Physiology and Medicine 2003
"for their contributions to magnetic resonance imaging"



Richard Ernst

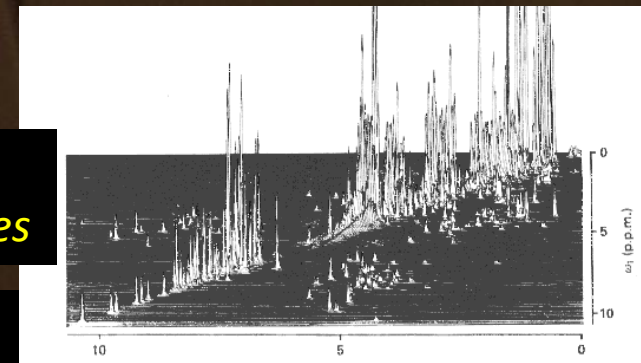


The Nobel Prize in Chemistry 1991

*structure and connectivity
of the most complex molecules*

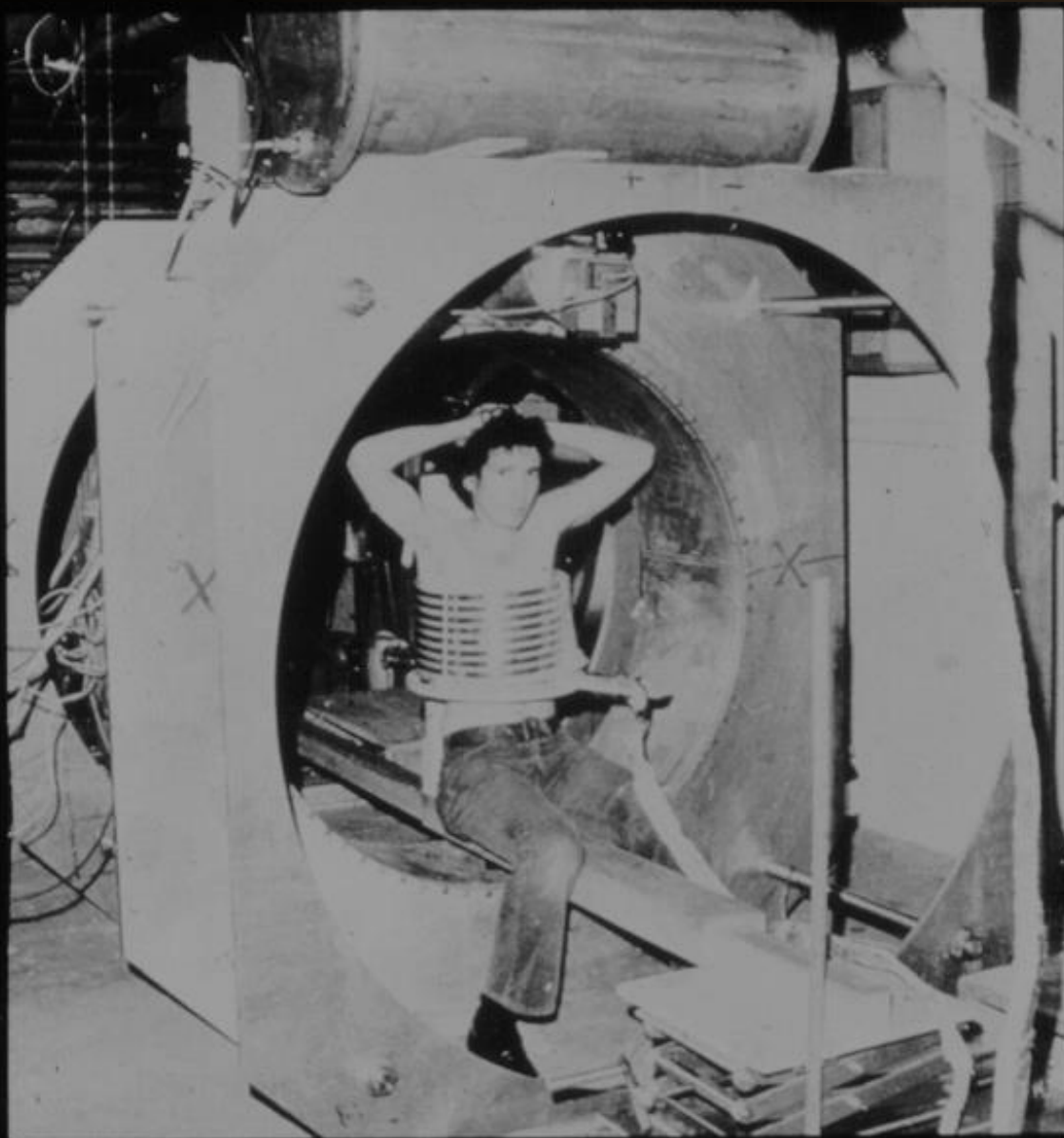
Richard Ernst

**1975: navrhl frekvenční a fázové kódování NMR signálu
a použití Fourierovy transformace**



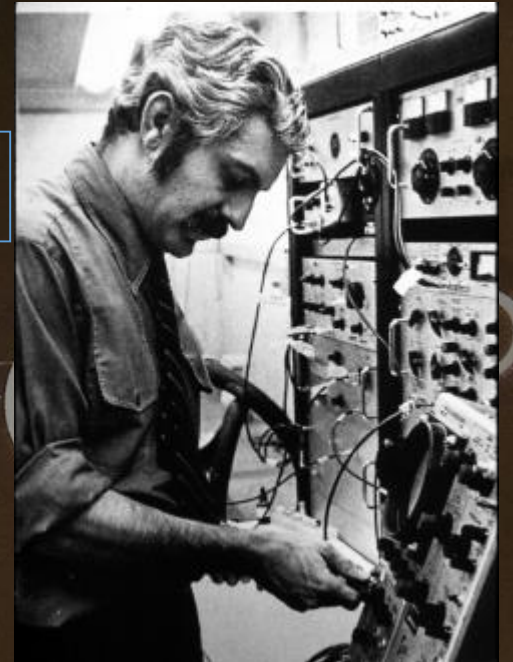
**Gradient magnetického pole:
prostorové kódování signálu**

První skener MRI „in vivo“



First successful NMR scan, July 1977
in Damadian's machine, patient Dr. Minkoff

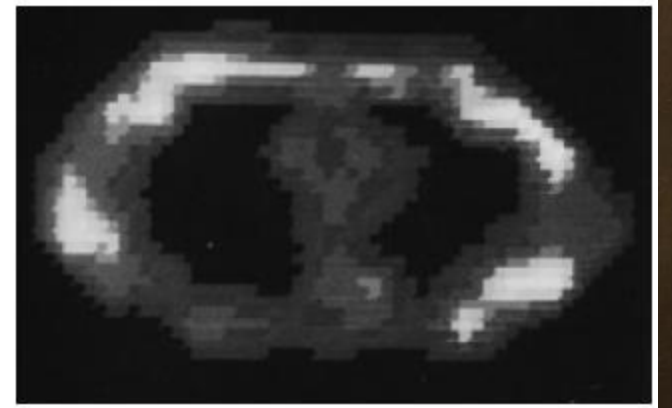
E Med
RCT
82 1282e



Raymond Damadian

1977: 1. celotělový MRI – čas měření 4,5 hodiny

Handwritten note:
Scan done 11:03 PM 7/1/77
X=18, Y=2, Z=42
Data at 3% from both sides of
scan to right of center
FANTASTIC SUCCESS!
4:45 AM First Human Image
Complete in Amazing Detail
Showing Heart
Lungs
Uterus
Musculature



1. MR v ČR: IKEM, prof. Alfréd Belán

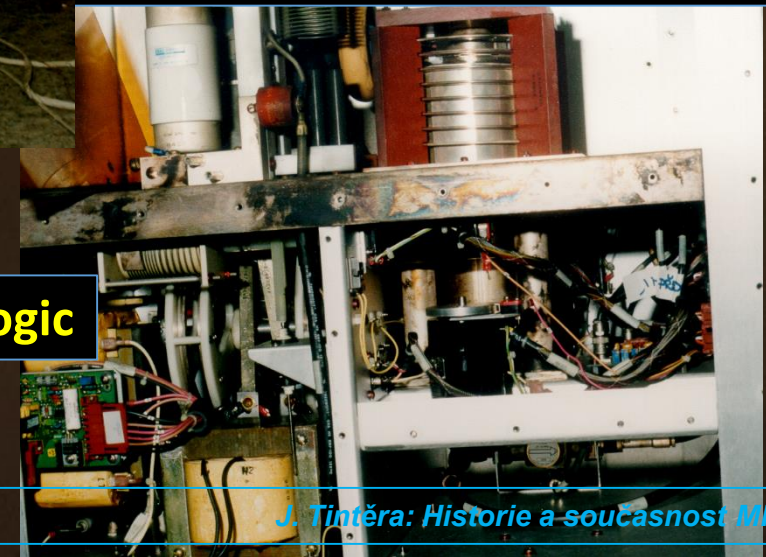
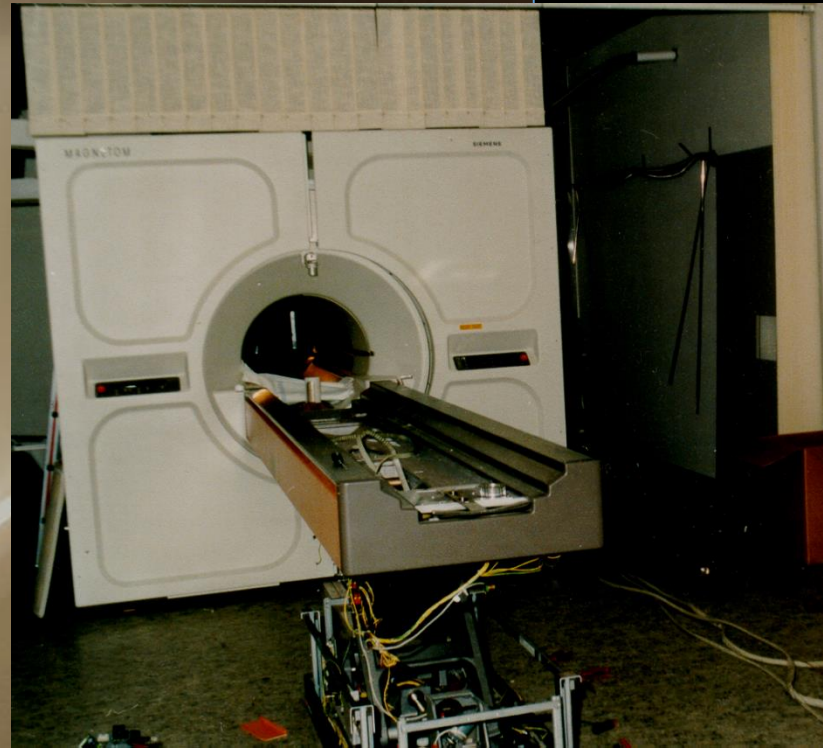
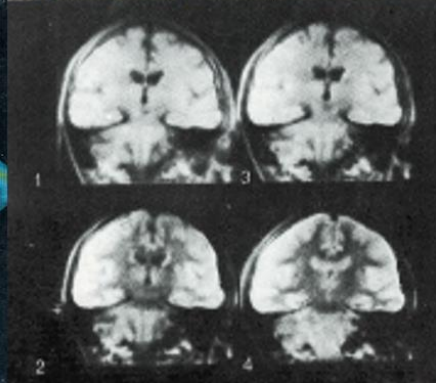
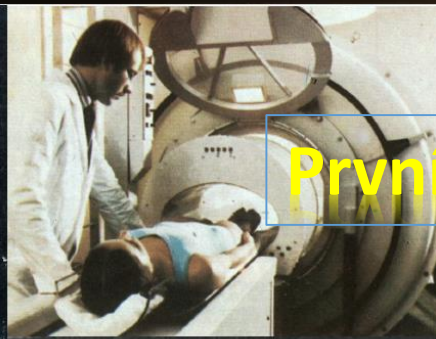
První zmínka o MRI?

Siemens Magnetom 1.5 T GBS 2

Supravodivý magnet 1,5T

gradienty 10 mT/m
slew-rate 10 T/m/s

1-kanálový RF systém
CP RF cívky
jádra: ^1H , ^{31}P , ^{23}Na



RF vysílač Analogic

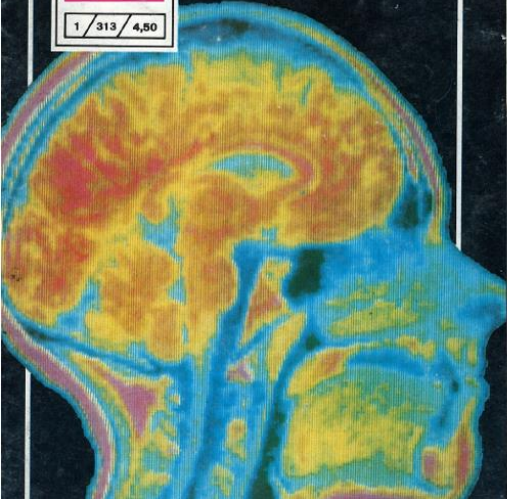


TOMOGRAFIE
-nekrvavé
řezy tělem

/str. 32/

84

1 / 313 / 4,50

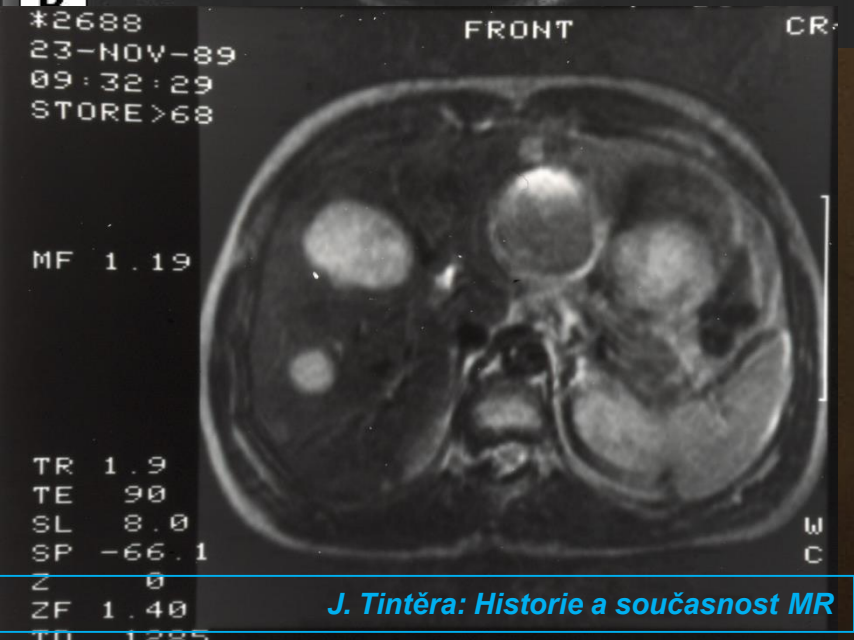
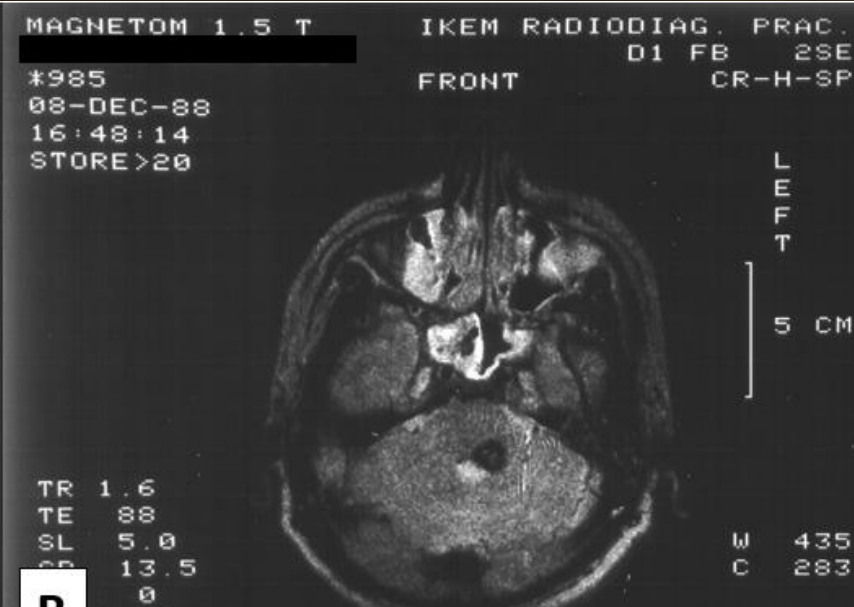


IKEM 1.9.1987: zahájena instalace

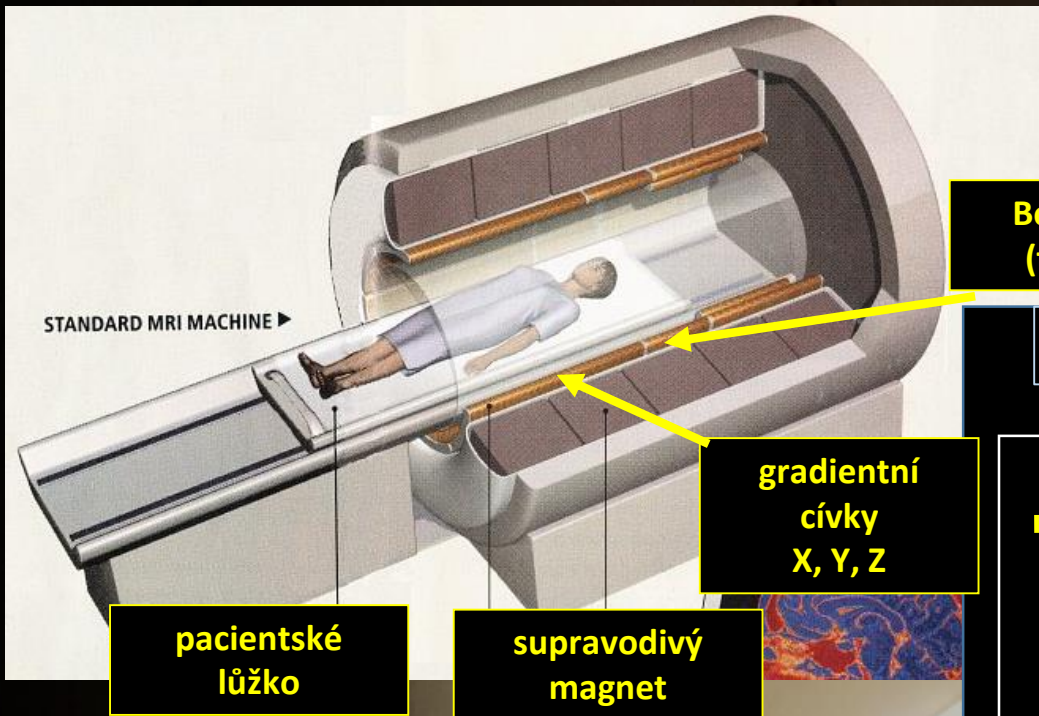
IKEM 1.1.1988: Zahájení provozu 1. MR tomografu



Siemens Magnetom 1.5T GBS 2



Historický vývoj



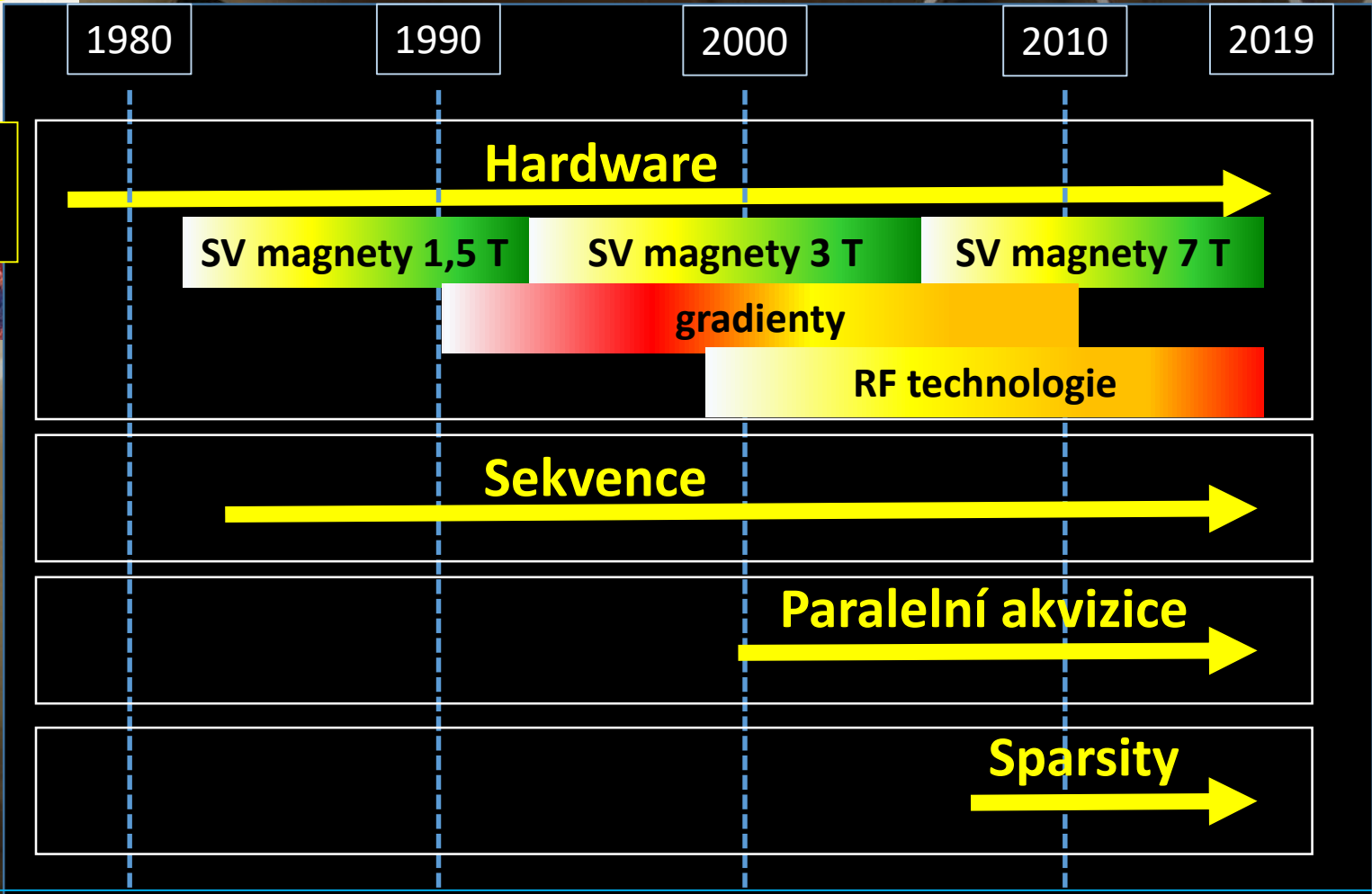
Magnet: *vytvoření magnetizace*
Gradientní systém: *prostorové kódování signálu*
RF systém: *excitace magnetizace a snímání MR signálu*

Body RF cívka (transmisní)

gradientní cívky X, Y, Z

pacientské lůžko

supravodivý magnet



1977

First successful
in Damadian's

1994

Magnety:

- roste zastoupení vysokých polí
- větší otvor pro pacienta
- kratší tunel

1999

2003

2011

2019

Gradientní systém

Gradientsy projektu Connectome

Shim cívky

Jedno-vrstvé gradientní cívky
 $G \sim 3 \text{ mT/m}$
 $SR \sim 2 \text{ T/m/s}$

Aktivně stíněné gradienty
 $G \sim 10 \text{ mT/m}$
 $SR \sim 10 \text{ T/m/s}$

(Asymetrické) hlavové, nebo planární gradienty
 $G \sim 20 \text{ mT/m}$
 $SR \sim 50 \text{ T/m/s}$

Dedikované systémy: hlava / celotělové
 $G \sim 40 \text{ mT/m}$
 $SR \sim 200 \text{ T/m/s}$

Velký průměr a vysoká G_{max}
 $G \sim 45-80 \text{ mT/m}$
 $SR \sim 200 \text{ T/m/s}$

1976

1984

1986

1991

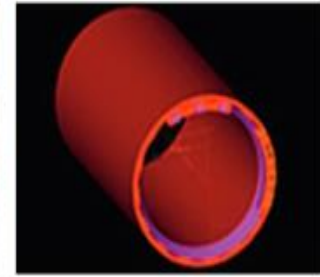
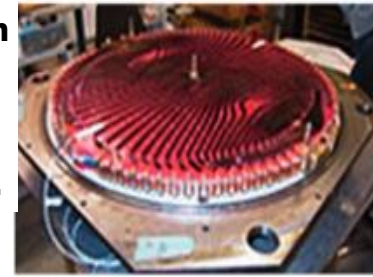
2000

2017

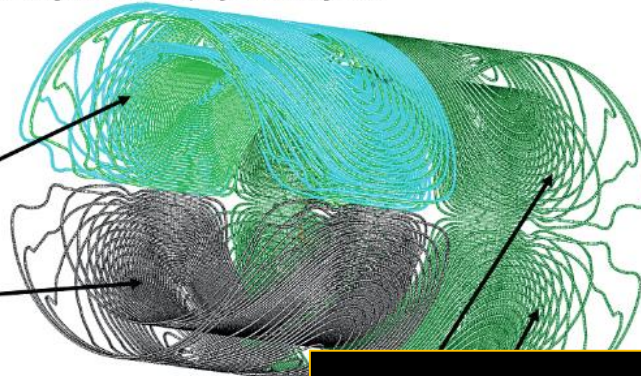
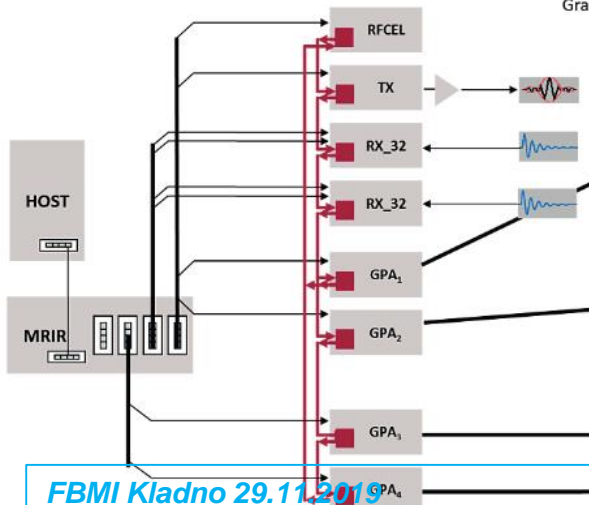


Moderní design gradientů

Introduced by R. Turner et al.



All channels (X1-X4, Y1-Y4, Z1-Z4) are fed with the same gradient shape and preemphasis
 Gradient design minimizes coupling between segments



1980

Maximální amplituda 300 mT/m



00 A

$U < 2.2 \text{ kV}, I < 1 \text{ kA}$

20 mT/m, SR 160 T/m/s
 umožňuje EPI

80 mT/m, SR 700 T/m/s
 hlavové gradienty

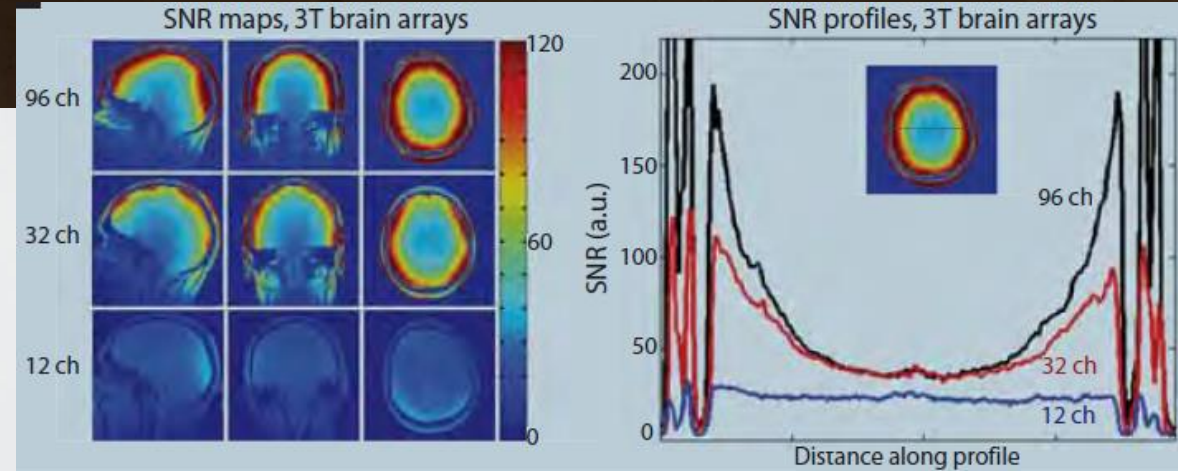
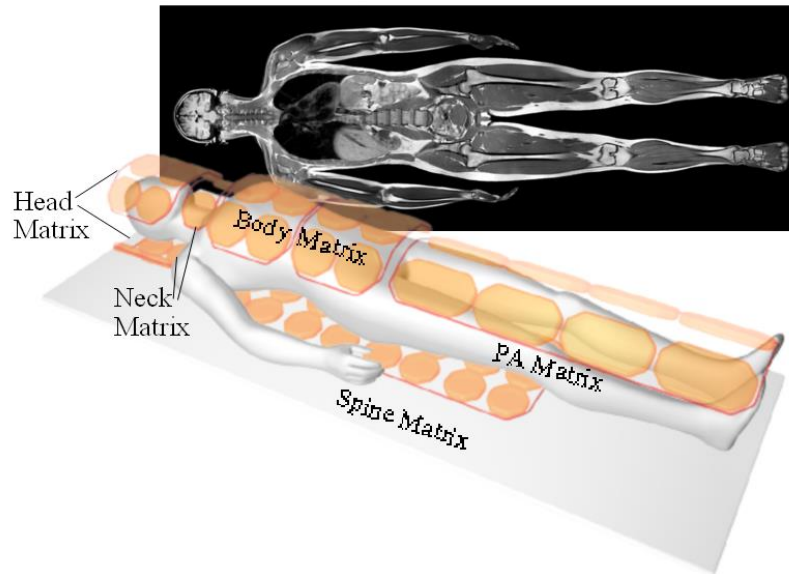
40 mT/m, SR 200 T/m/s
 kardio / EPI gradienty

Rozvoj RF systémů od ~ 2003

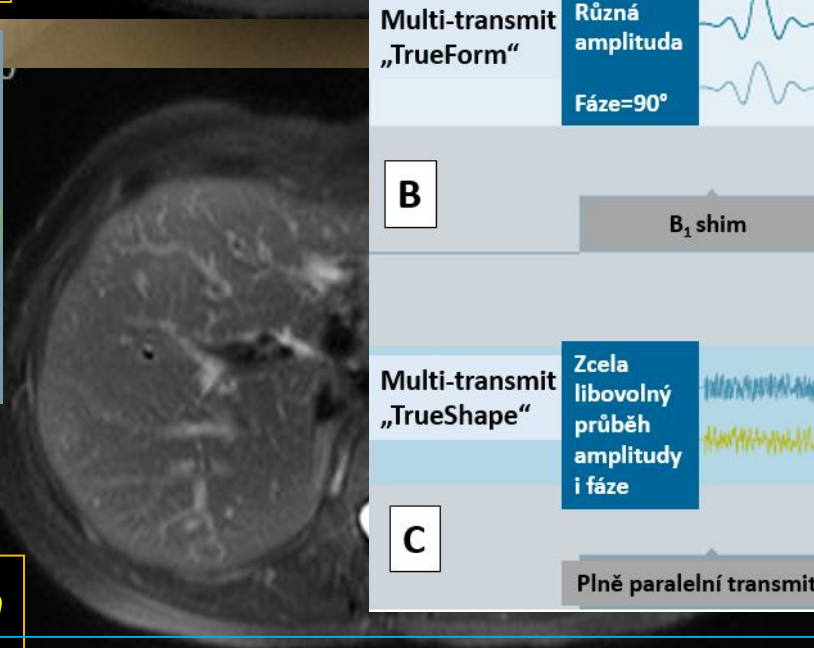
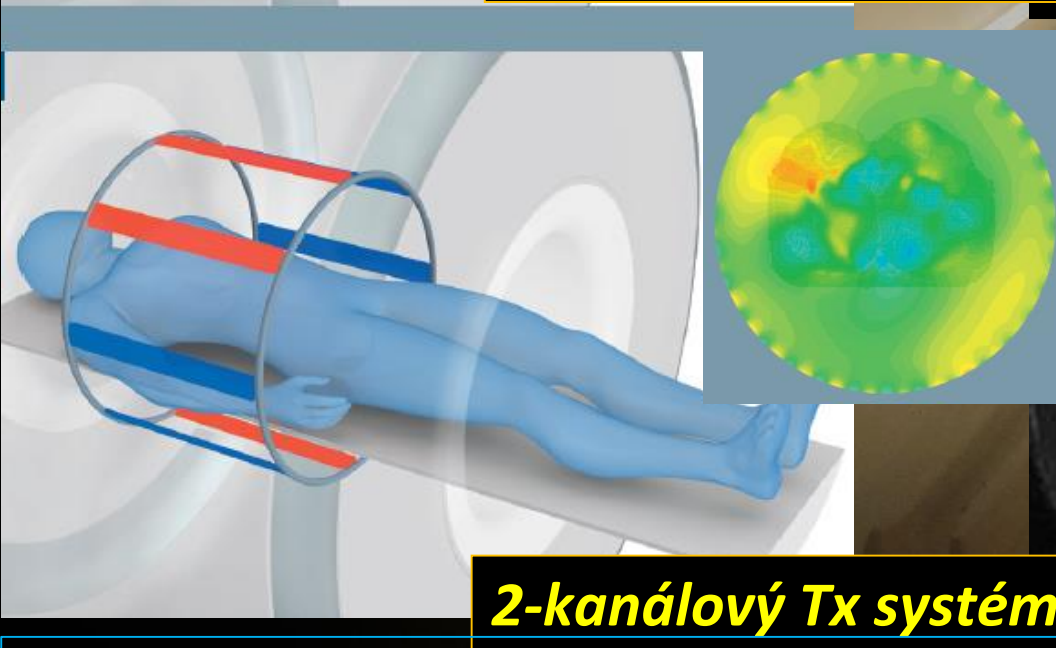
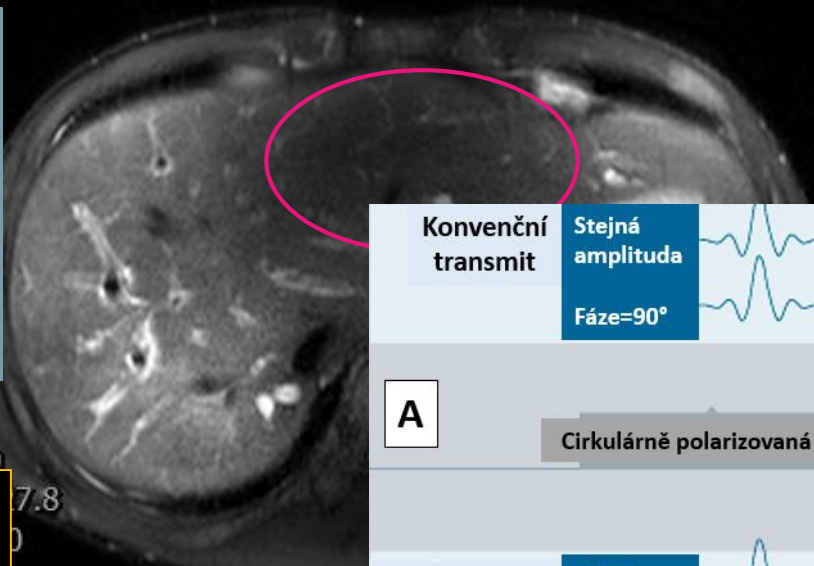
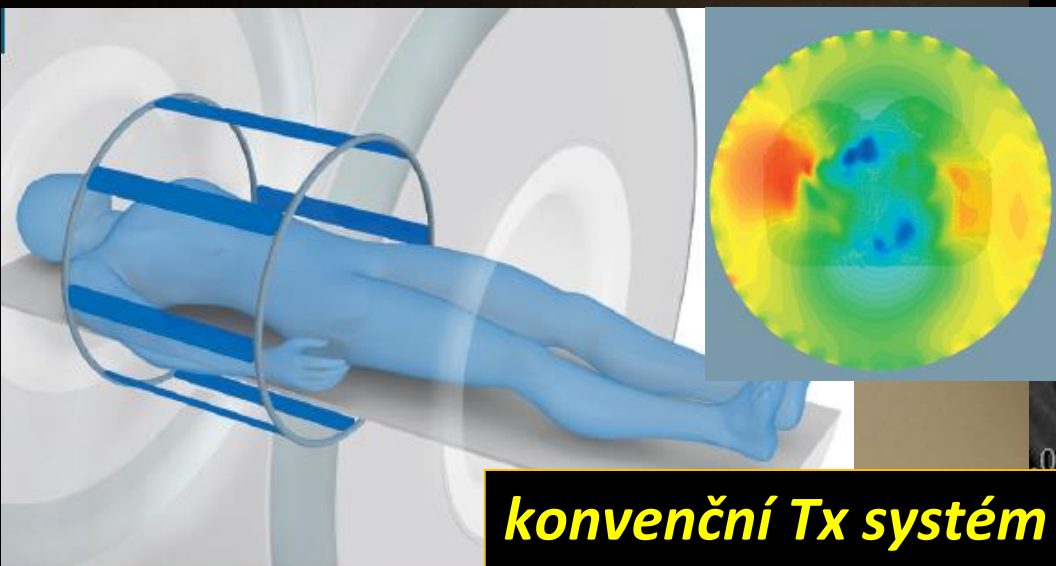
Narůstá počet paralelních
přijímacích RF cívek

Overview Tim™ coils

2003



Multi-transmit systém na 3T a vyšších polích



A	Konvenční transmit	Stejná amplituda Fáze=90°			
	Cirkulárně polarizovaná	Excitace plného FOV	Nehomogenita obrazu		
	Multi-transmit „TrueForm“	Různá amplituda Fáze=90°			
B	B ₁ shim	Excitace plného FOV	Nehomogenita obrazu redukována		
C	Multi-transmit „TrueShape“	Zcela libovolný průběh amplitudy i fáze			
	Plně paralelní transmit	Excitace omezeného FOV	Redukce nehomogenity a distorzí, žádné překlápění		

Dnešní MR tomografy

Magnet:

1,5 T, 3 T, 7 T

Gradienty: až 300 mT/m

RF systém:

Desítky paralelních přijímacích kanálů

Body RF cívka
(transmisní)

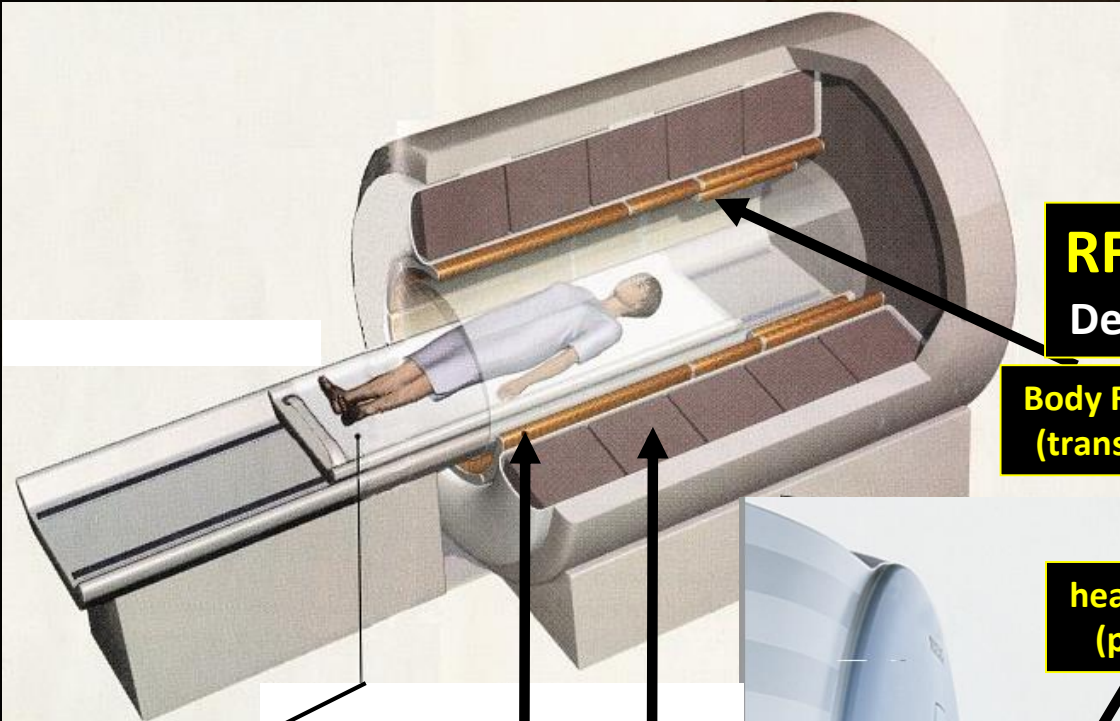
Praha 22 (6 x 3T)

Brno 11 (5 x 3T)

Ostrava 4 (0 x 3T)

celkem v ČR ~ 100 MR

z toho 18 3T magnetů



pacientské
lůžko

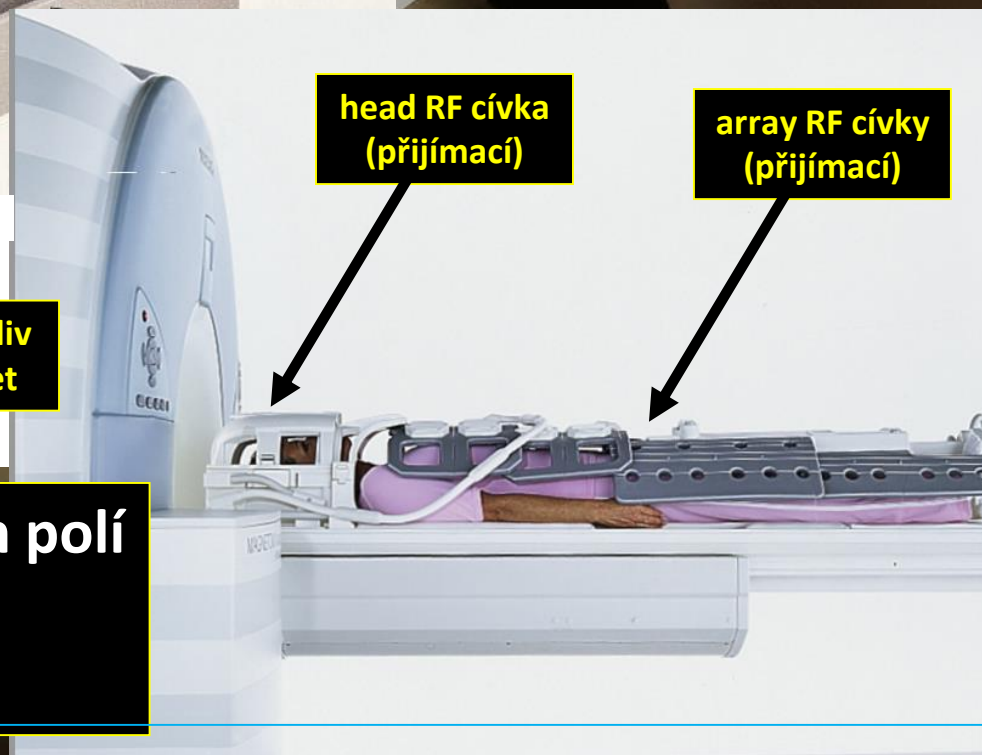
gradientní
cívky
X, Y, Z

supravodiv
ý magnet

Roste zastoupení vysokých polí
výkon gradientů
počty RF kanálů

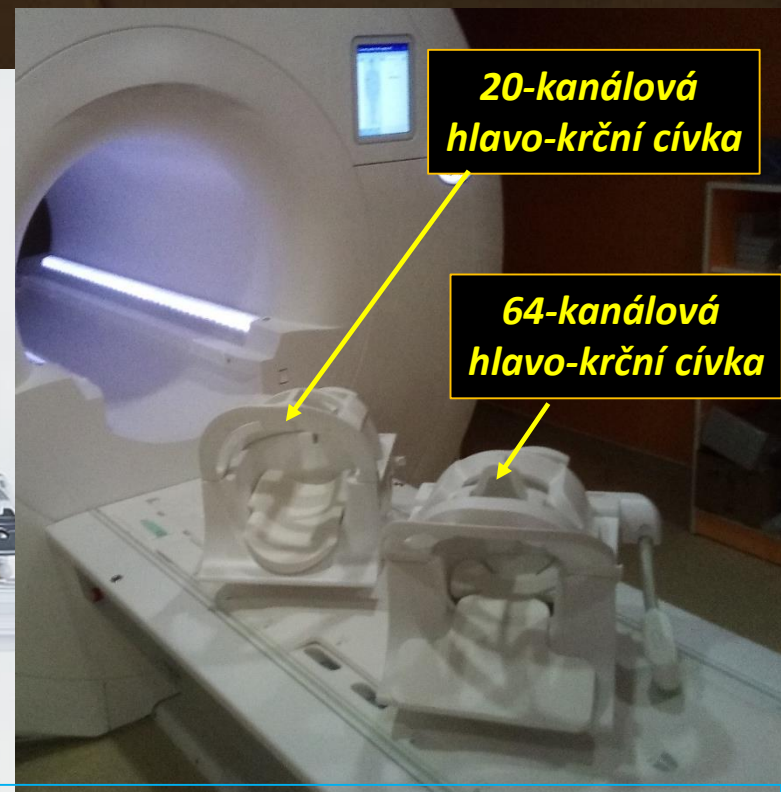
head RF cívka
(přijímací)

array RF cívky
(přijímací)



20-kanálová
hlavo-krční cívka

64-kanálová
hlavo-krční cívka





Magnet: 1,5T
Gradients:
 $G_{max}: 10 \text{ mT/m}$
 $SR: 10 \text{ T/m/s}$
RF systém:
1 TX, 1 Rx kanál



Magnet: 1,5T
Gradients:
 $G_{max}: 25 \text{ mT/m}$
 $SR: 125 \text{ T/m/s}$
RF systém:
1 TX, 4 Rx kanály



Magnet: 1,5T
Gradients:
 $G_{max}: 45 \text{ mT/m}$
 $SR: 200 \text{ T/m/s}$
RF systém:
1



Magnet: 3T
Gradients:
 $G_{max}: 45 \text{ mT/m}$
 $SR: 200 \text{ T/m/s}$
RF systém:
1 TX, 18 Rx kanálů

Přichází Turbo spinové echo a EPI !!!



Magnet: 1,5T
Gradients:
 G_{max}
 $SR: 2$
RF s
1 TX, 48 Rx kanálů

EPI Booster T

Nastává éra paralelního zobrazování!!!
3D spinové echo a další rychlé sekvence...



Gradients:
 60 mT/m
 0 T/m/s
s
4 TX, 64 Rx kanály

Sekvence pro MRI



Nová generace rychlých sekvencí: ~ 2000

Radiology. 2000 Sep;216(3):891-9.

Optimized single-slab three-dimensional spin-echo MR imaging of the brain.

Mugler JP 3rd¹, Bao S, Mulkern RV, Guttman CR, Robertson RL, Jolesz FA, Brookeman JR.

Magnetic Resonance in Medicine 49:395–397 (2003)

Is TrueFISP a Gradient-Echo or a Spin-Echo Sequence?

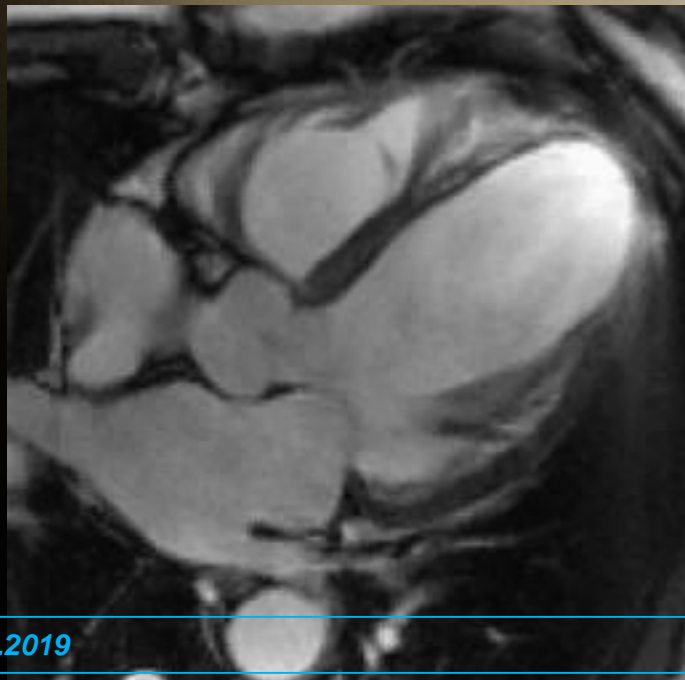
Klaus Scheffler* and Jürgen Hennig

Magnetic Resonance in Medicine 48:684–688 (2002)

Are TrueFISP Images T_2/T_1 -Weighted?

Teng-Yi Huang,^{1,2} Ing-Jye Huang,^{1,2} Cheng-Yu Chen,² Klaus Scheffler,³
Hsiao-Wen Chung,^{1,2*} and Hui-Cheng Cheng⁴

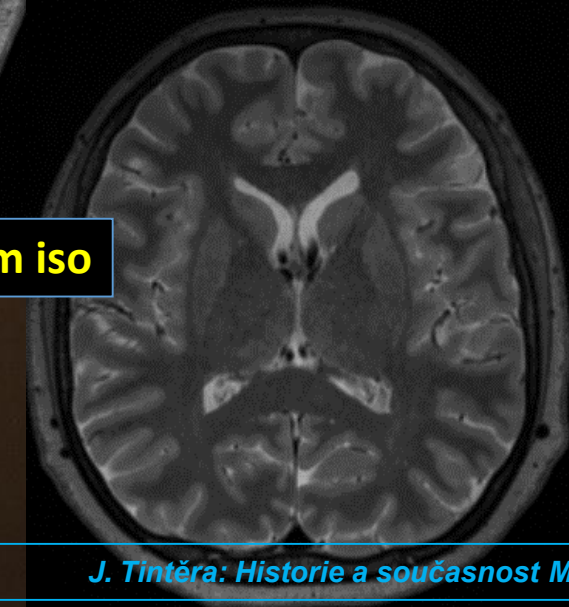
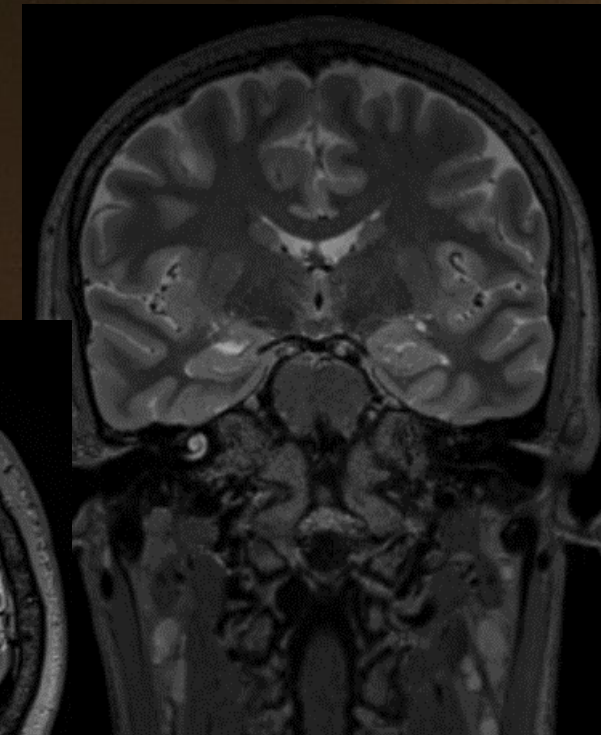
TrueFISP
FIESTA
bFFE



SPACE
CUBE
VISTA

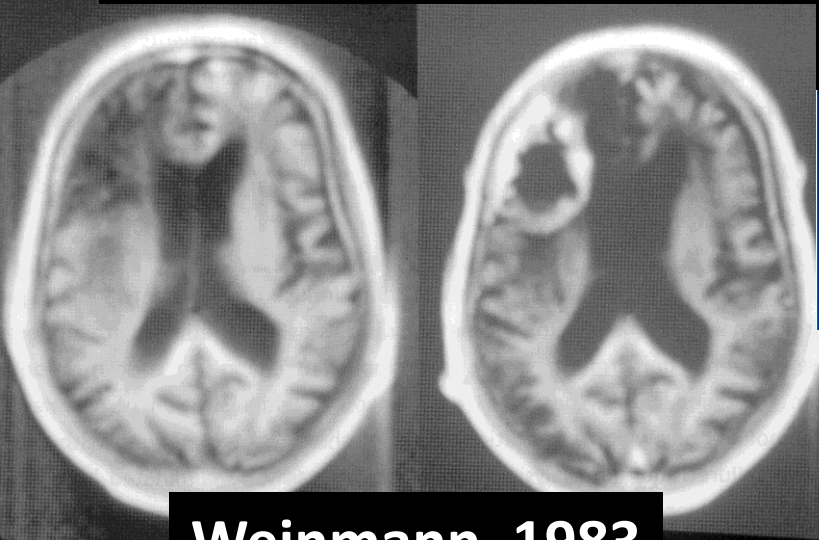


voxel: 0,7 mm iso



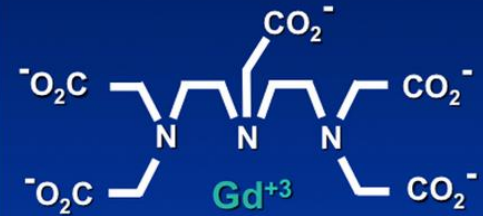
Kontrastní látka pro MRI: na bázi Gd + chelát

První klinická k.l.: **Magnevist** (Schering) 1988



Weinmann, 1983

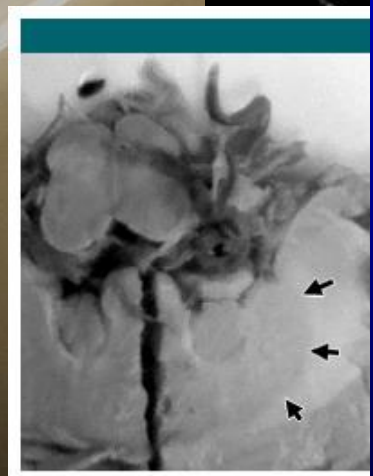
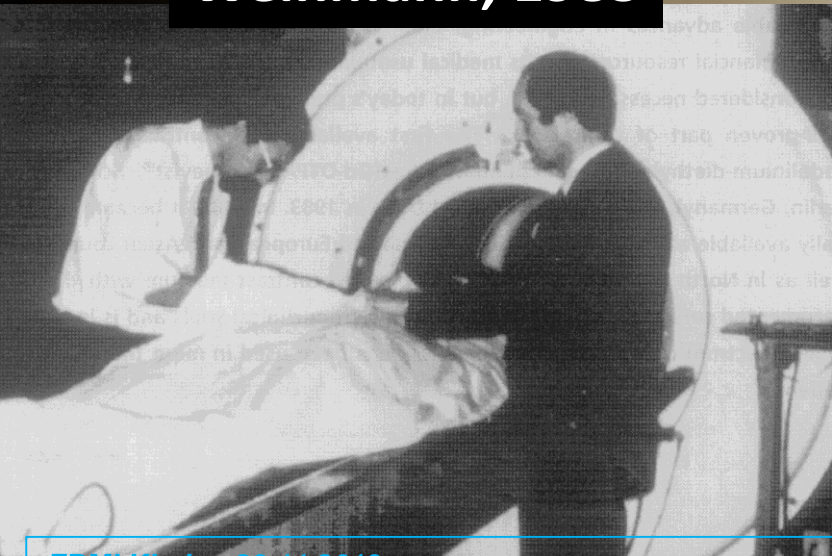
Gd-DTPA



První intravaskulární
Vasovist (Schering) 2008



US action star is suing 11 drug firms for \$10m, claiming his wife was misdiagnosed based on MRI



Photographs of formalin-fixed brain tissue in a 78-year-old man with malignant lymphoma (subject 3 in the GBCA group). Arrows show the (a) dentate nucleus and inner (b) segment of the globus pallidus.

• Gadoversetamid (Optimark)	lineární	pozastaven
• Gadodiamid (Omniscan)	lineární	pozastaven
• Gd-DTPA (Magnevist)	lineární	pouze intraartikulárně
• Gadobenát (MultiHance)	lineární	pouze na játra
• Gadoxetic acid (Primovist)	lineární	pouze na játra
• Gadobutrol (Gadovist)	cyklický	povolen
• Gadoteridol (ProHance)	cyklický	povolen
• Gd-DOTA (Dotarem)	cyklický	povolen
• Gd-DOTA (Clariscan)	cyklický	povolen

Kontrastní MR angiografie

Martin Prince

1994: kontrastní MRA

Popliteal Artery Aneurysm

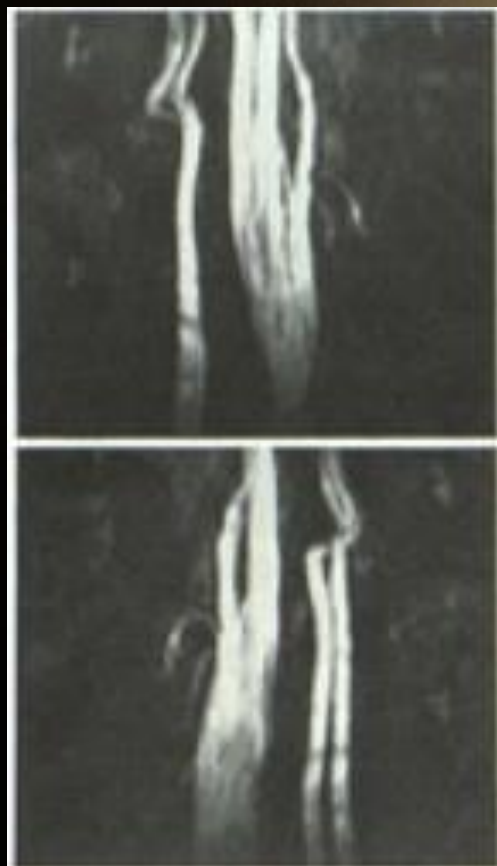
Prince MR, Yucel EK, Kaufman JA, Harrison DC, Geller SC.
J Magn Reson Imaging. 1993 Nov-Dec;3(6):877-81

IKEM 1998:
renální tepny

IKEM 2019:
periferní tepny

Nativní MR angiografie

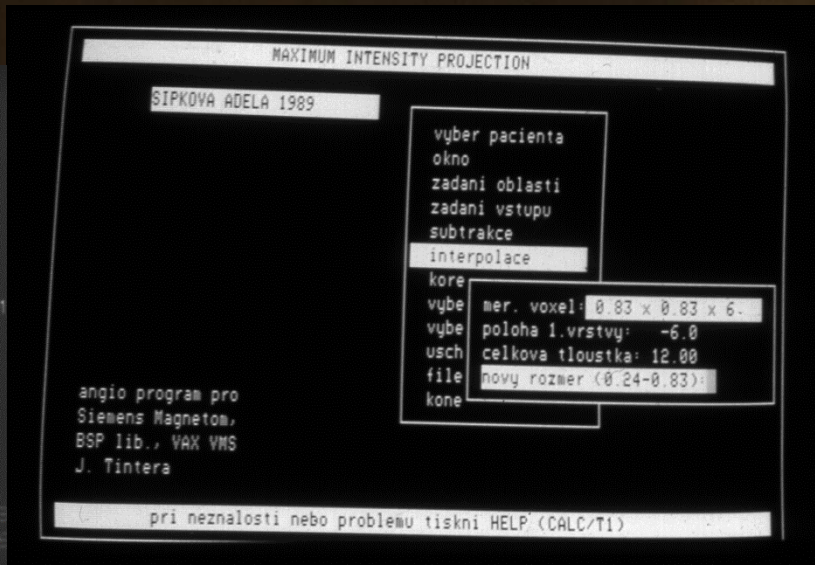
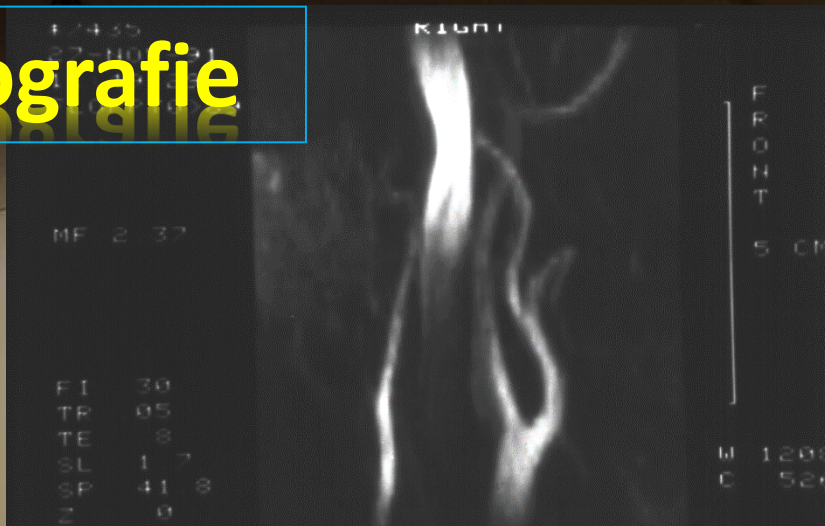
Charles Dumoulin
1987: MRA



První MRA v ČSR: IKEM 1991



MRA v roce 2019



Funkční MR zobrazování: 1992

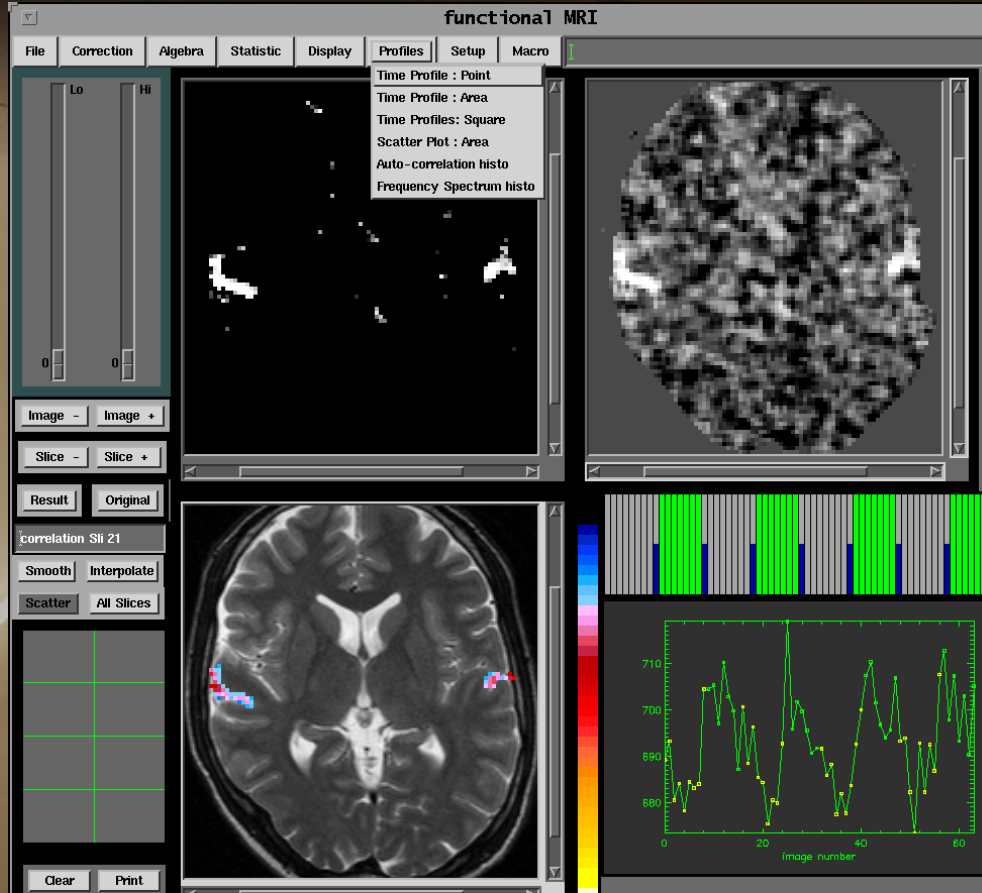


Jack Beliveau

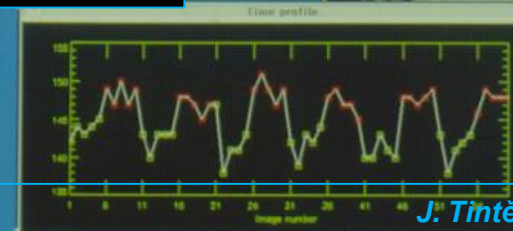
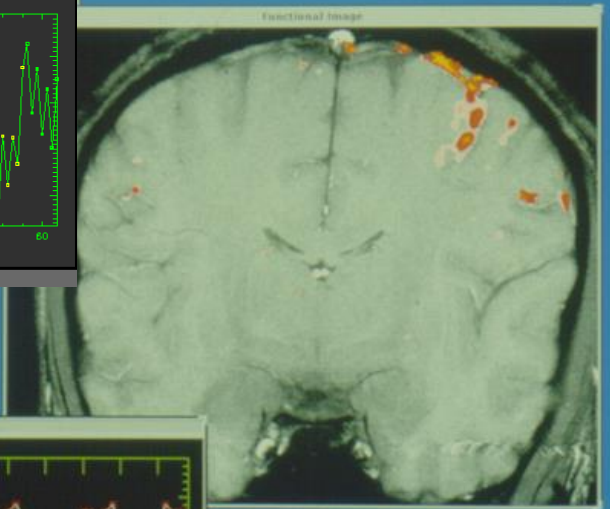
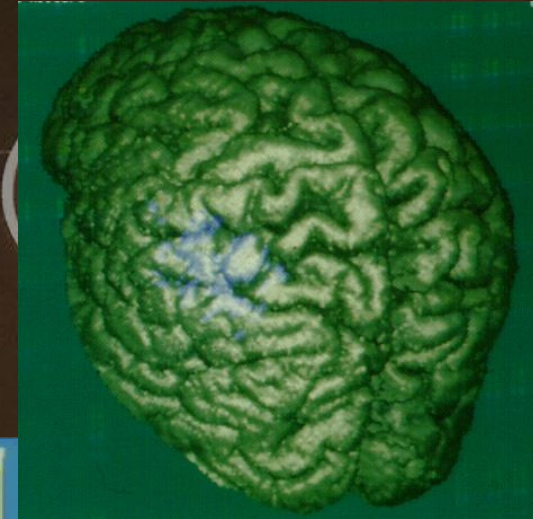


Seiji Ogawa

BOLD



Tintěra, Mainz
1994



J. Tintěra: Historie a současnost MR

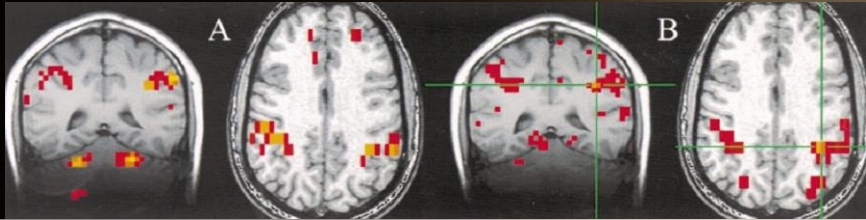
S.Ogawa, D.W. Tank, R. Menon,
J.E. Ellerman, S.G Kim, H. Merkle and K. Ugurbil,
Proc. Natl. Acad. Sci. USA **89**, 5951 (1992)

Funkční konektivita a mozkové sítě

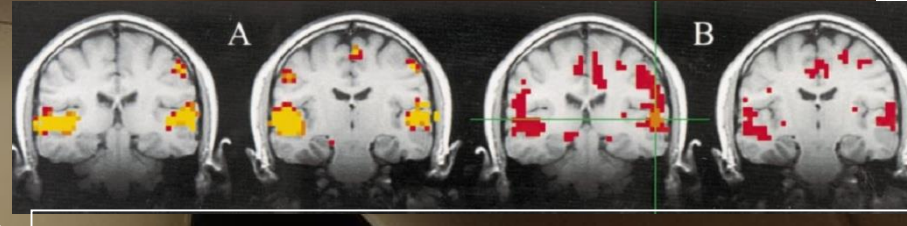
BRAIN CONNECTIVITY
Volume 1, Number 1, 2011
© Mary Ann Liebert, Inc.
DOI: 10.1089/brain.2011.0008

Functional and Effective Connectivity: A Review

Karl J. Friston



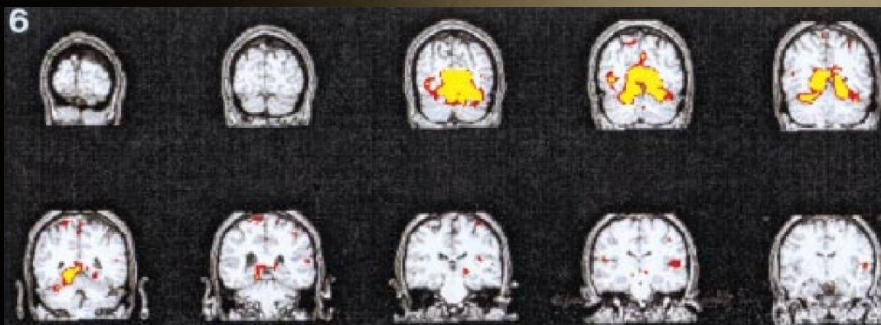
Sensorimotor network (Cordes et al., 2000. AJNR)



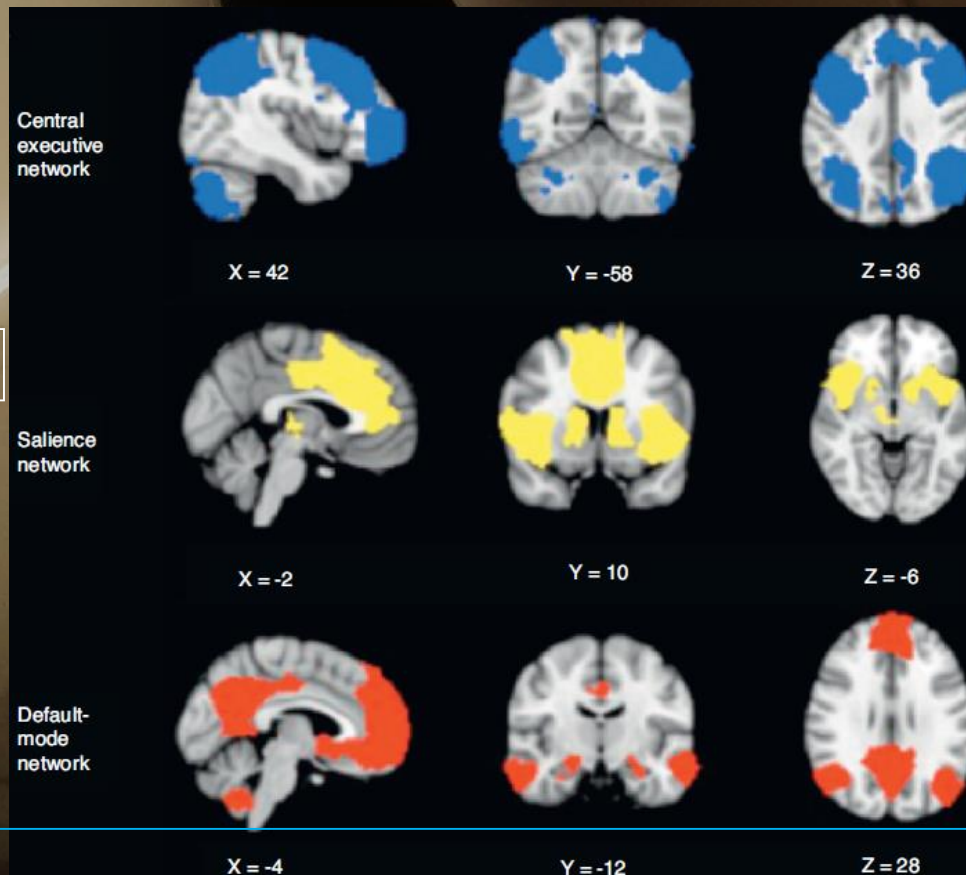
Auditory network (Cordes et al., 2000. AJNR)

Large-scale brain networks and psychopathology: a unifying triple network model

Vinod Menon^{1,2,3,4*}



Visual network (Lowe et al., 1998. Neuroimage)

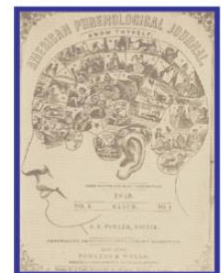


Fronto-parietální CEN:
pracovní paměť
pozornost

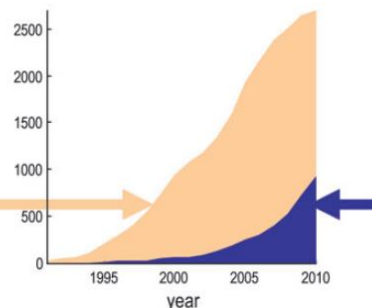
SN:
detekce a mapování
významových externích
podnětů a interních
událostí

DMN:
self-referenční mentální
aktivita

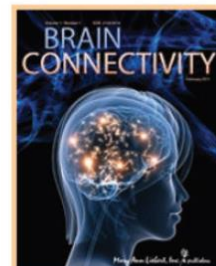
Functional segregation
(activation)



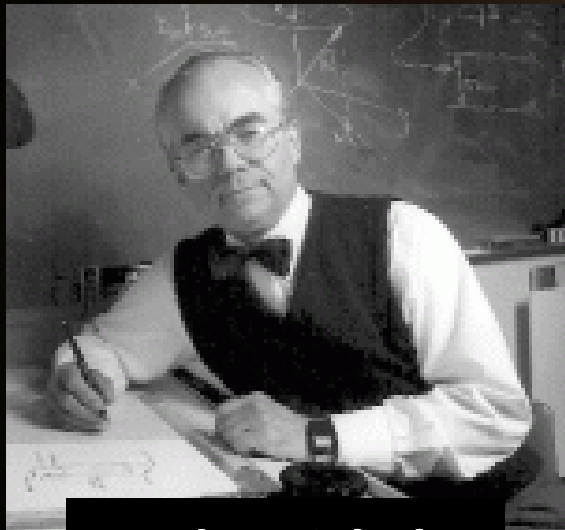
publications per year



Functional integration
(connectivity)

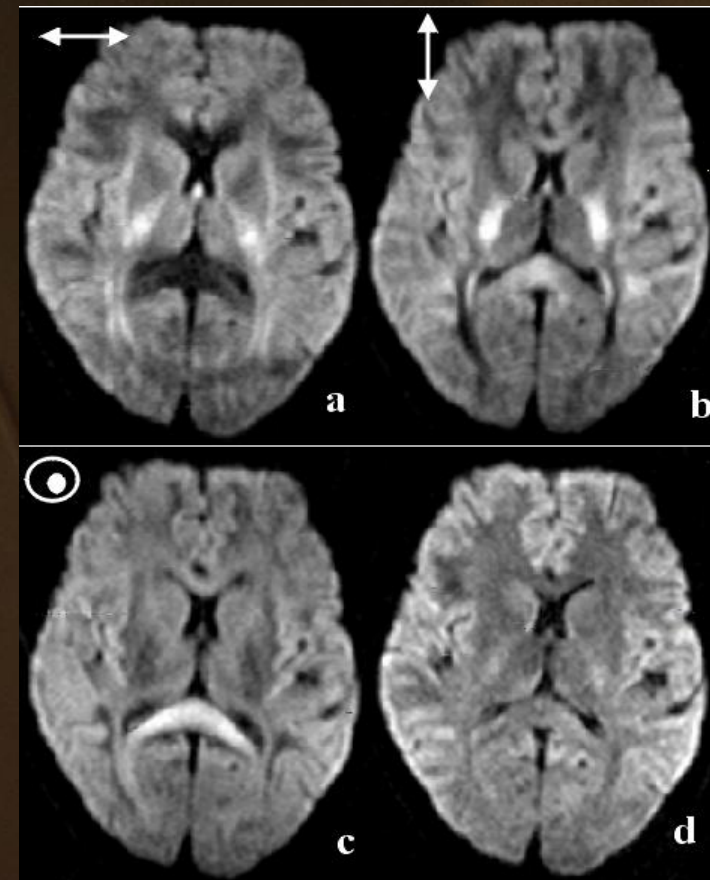
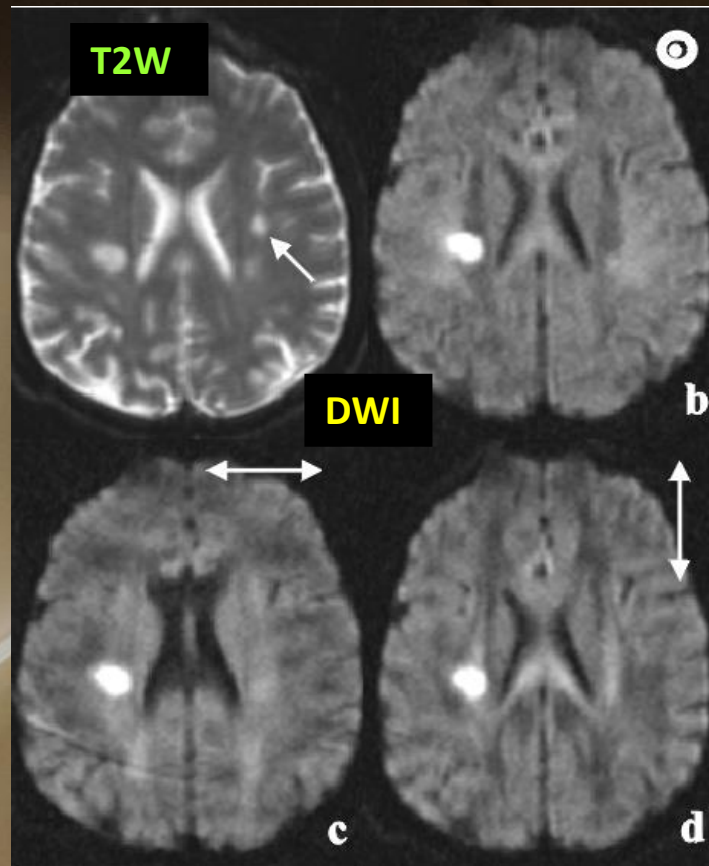


Zobrazení difúze: DWI

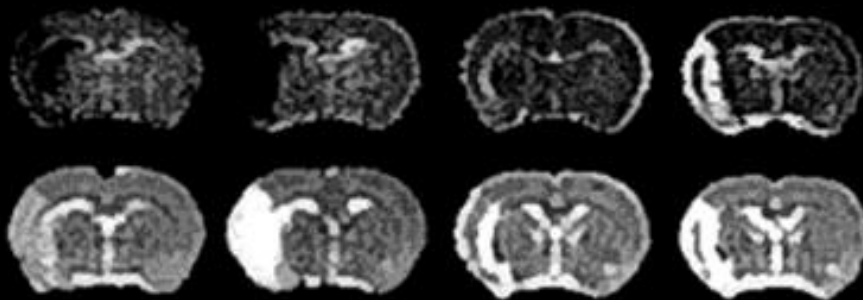


Ed Stejskal

E. O. Stejskal and J. E. Tanner,
J. Chem. Phys., **1965**, 42, 288-92

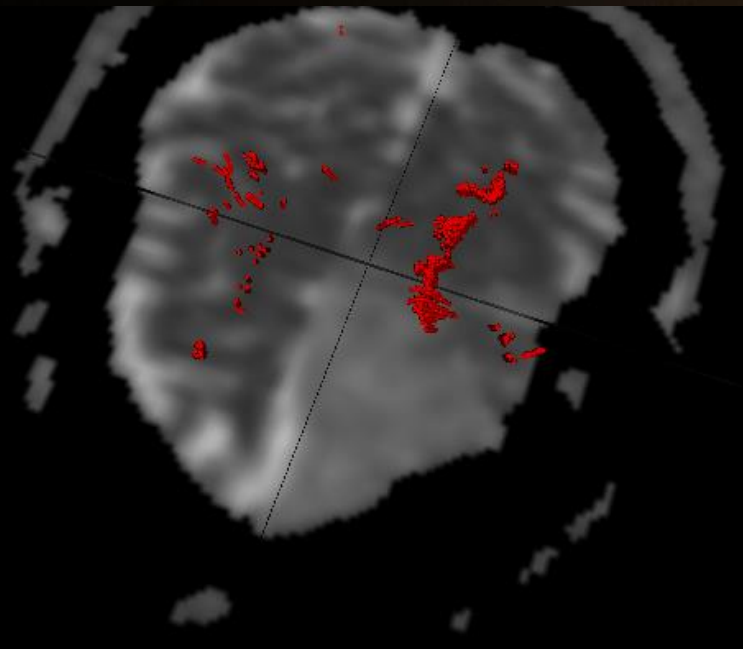


DWI 1995:
single shot EPI



Moseley ME et al.
Magn Reson Med. **1990** May;14(2):330-46

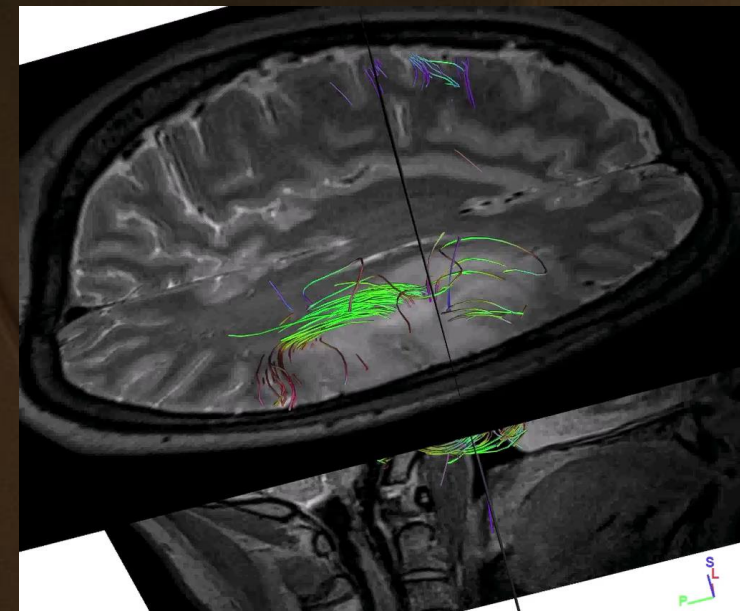
DWI a DTI: 2005 – 2019



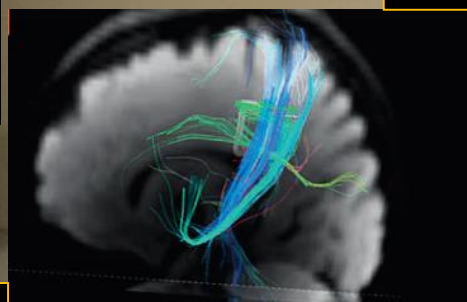
IKEM 2005



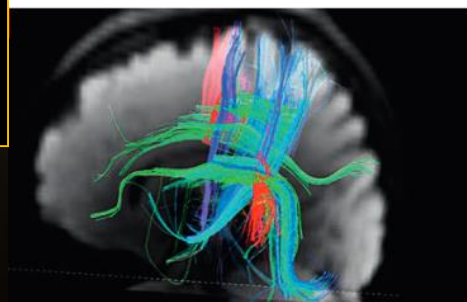
DWI 2017:
single shot EPI multi-shot EPI



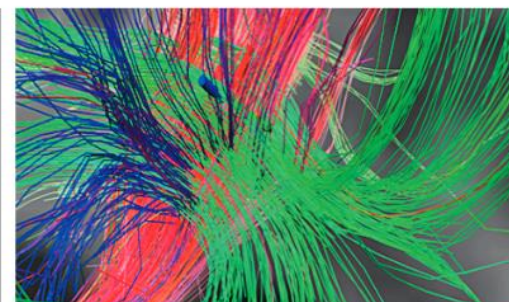
**Connectome
project**



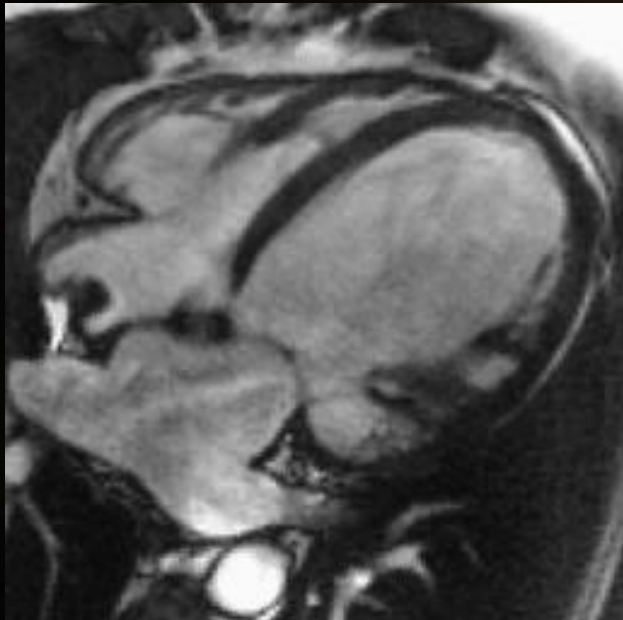
G_{\max} 40 mT/m
b 5,000 s/mm², Δ 74 ms



G_{\max} 300 mT/m
b 15,000 s/mm², Δ 37 ms

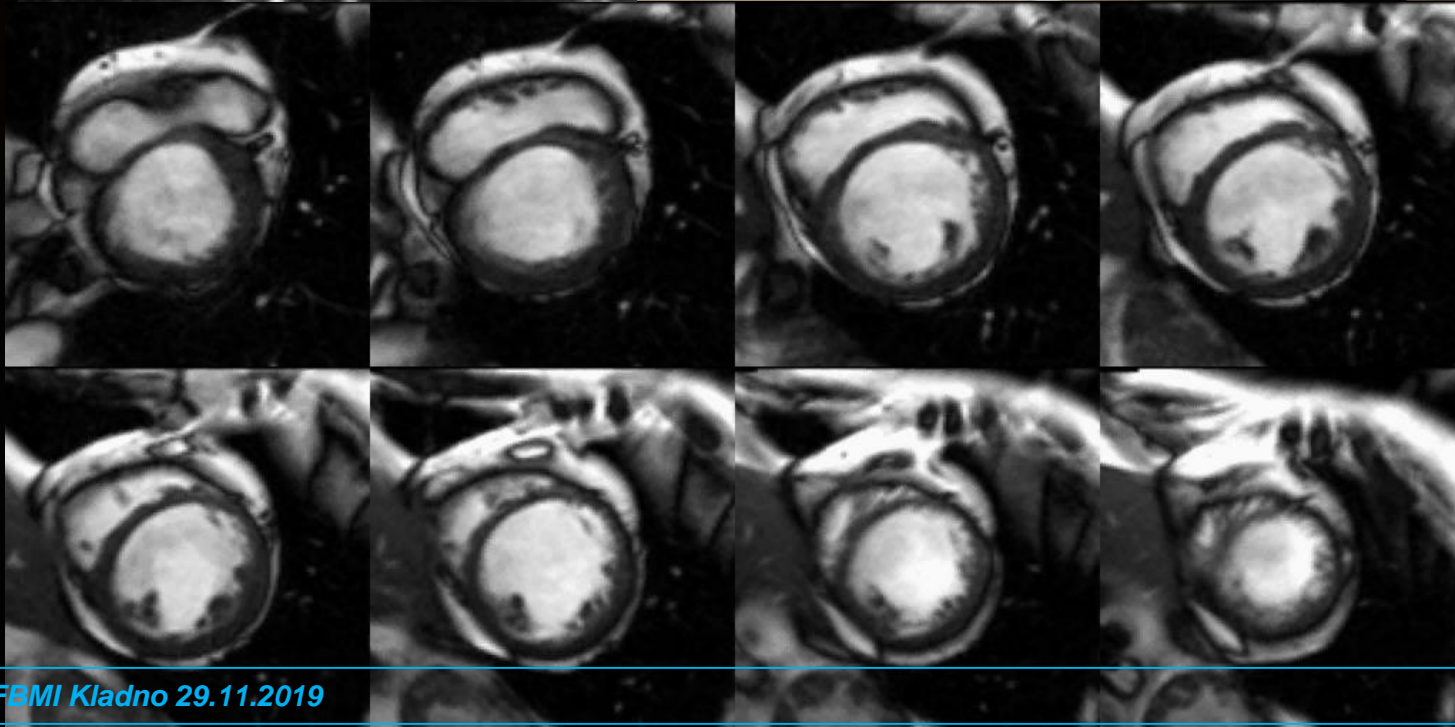


Zobrazení srdce: komplexní diagnostika

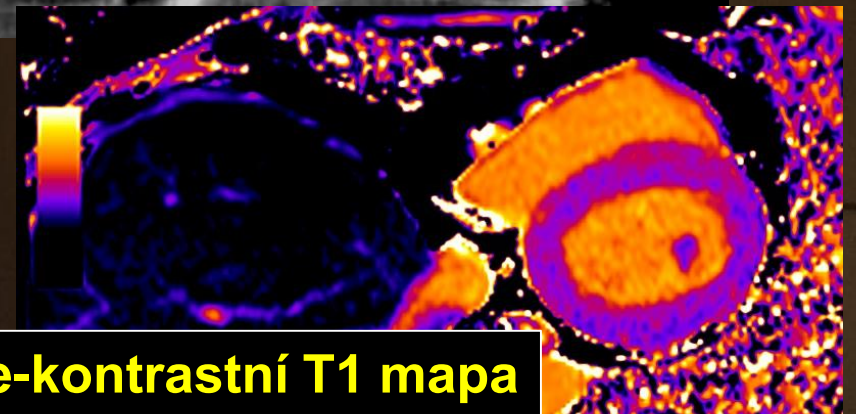


kinetika
(4D)

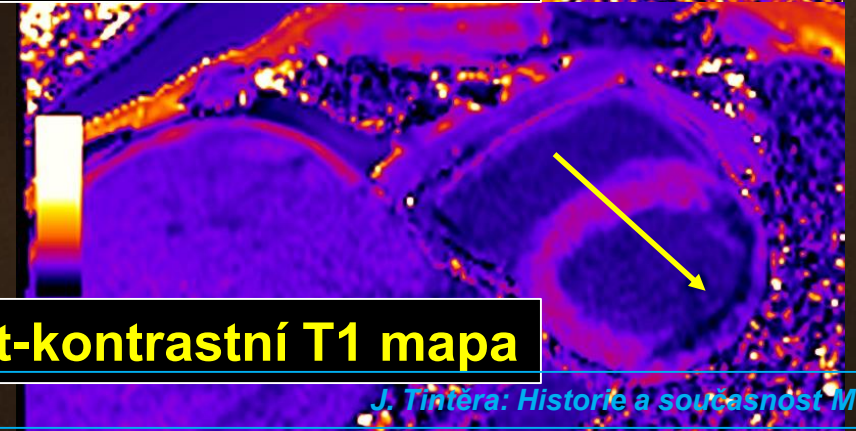
pozdě post-kontrastní skeny



pre-kontrastní T1 mapa

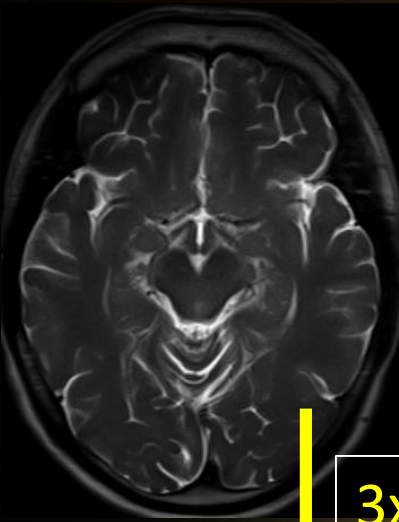


post-kontrastní T1 mapa

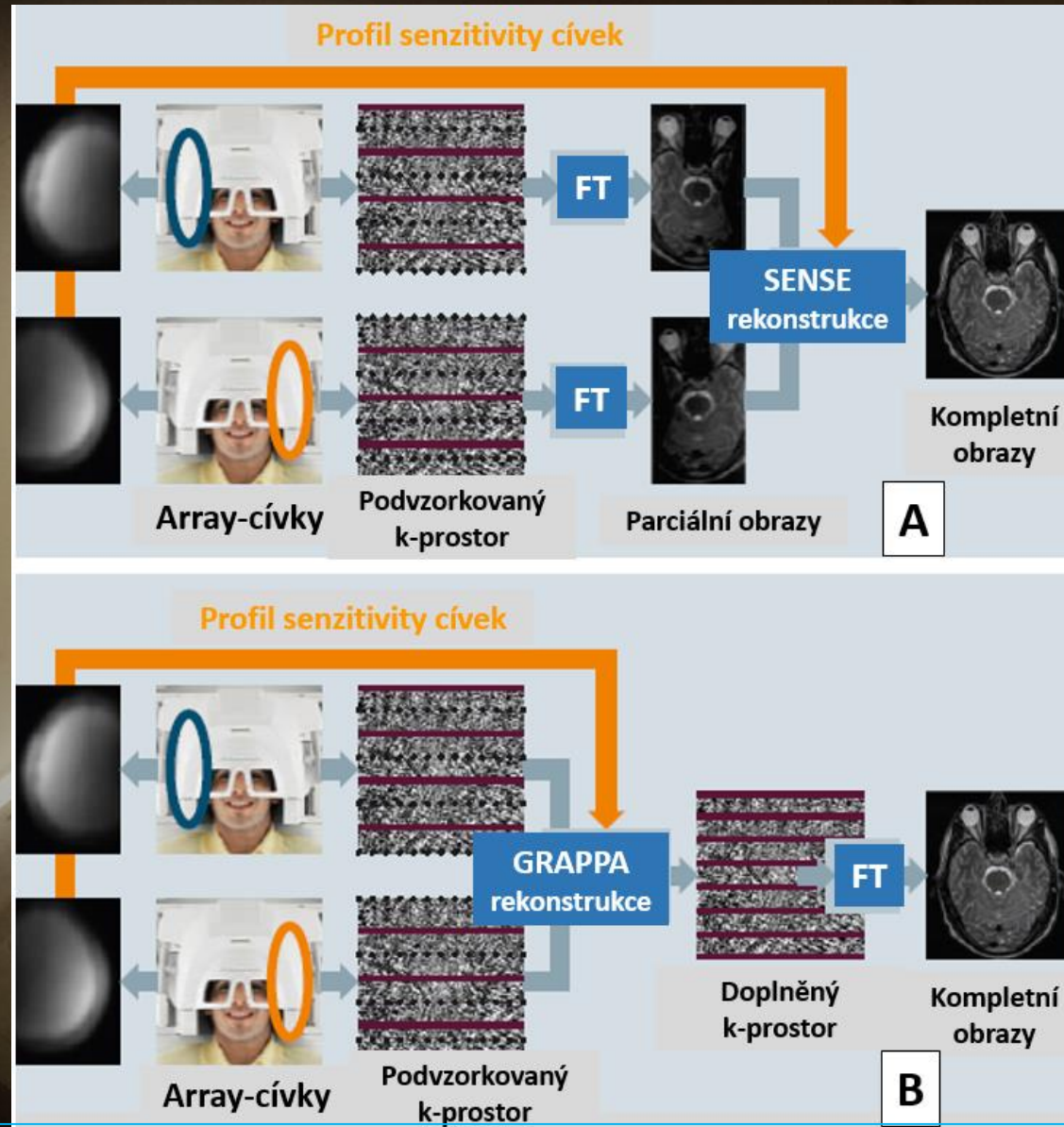
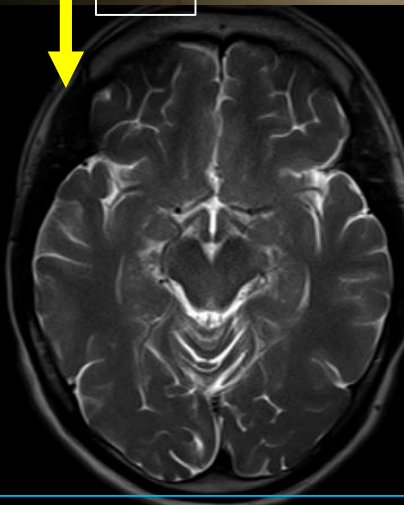


Rozvoj paralelního zobrazování od ~ 2005

Jak ještě zrychlit?



3x



SMASH, SENSE, PILS, GRAPPA
How to Choose the Optimal Method

Martin Blaimer, Felix Breuer, Matthias Mueller, Robin M. Heidemann, Mark A. Griswold, and Peter M. Jakob

SENSE

- faktor zrychlení = podvzorkování k-prostoru

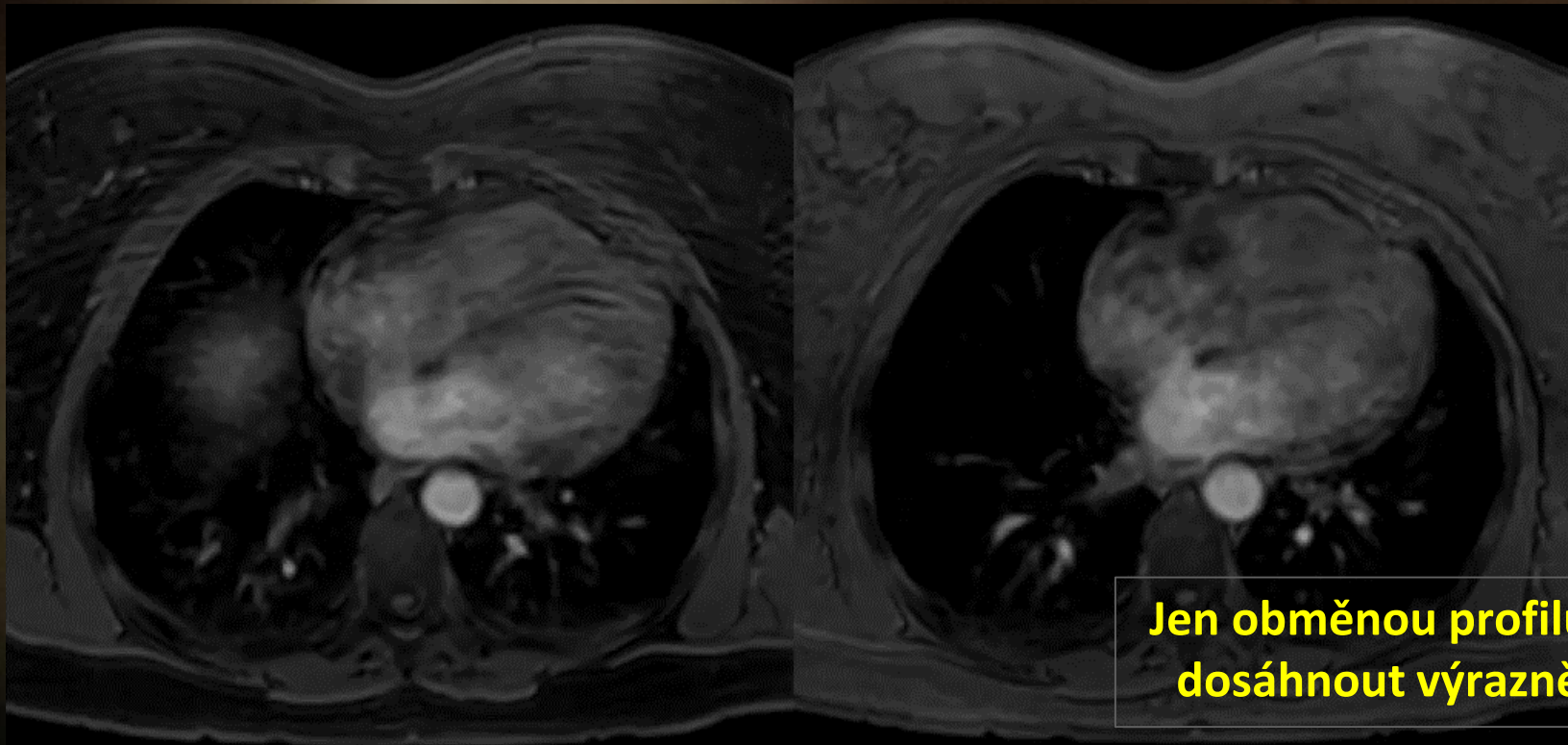
- efektivita roste s počtem RF cívek

GRAPPA

Paralelní techniky v současnosti: *Sparsity*

GRAPPA

CAIPIRINHA



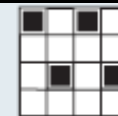
**Avanto Fit
IKEM 2017**

**Jen obměnou profilu akcelerace můžeme
dosáhnout výrazně lepšího výsledku!!!**

2D Standard
2x2



2D CAIPIRINHA
2x2⁽¹⁾

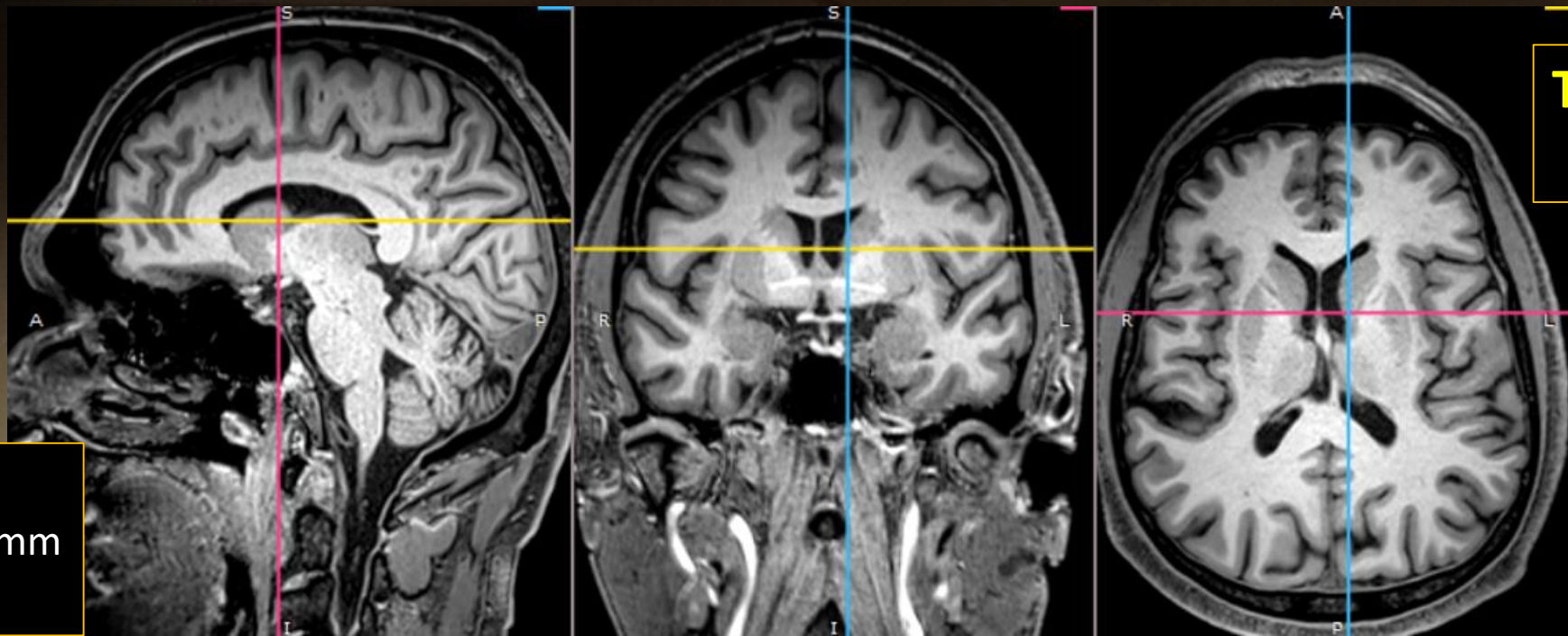


**Controlled Aliasing in Parallel
Imaging Results in Higher Acceleration
(CAIPIRINHA)**

Felix Breuer¹; Martin Blaimer²; Mark Griswold³; Peter Jakob^{1,3}
¹Research Center, Magnetic Resonance Bavaria e.V. (MRB), Würzburg, Germany
²Case Center for Imaging Research, Case Western Reserve University and University Hospitals, Cleveland, OH, USA
³Dept. of Experimental Physics 5, University of Würzburg, Würzburg, Germany

**Siemens
VIDA 3T
2019**

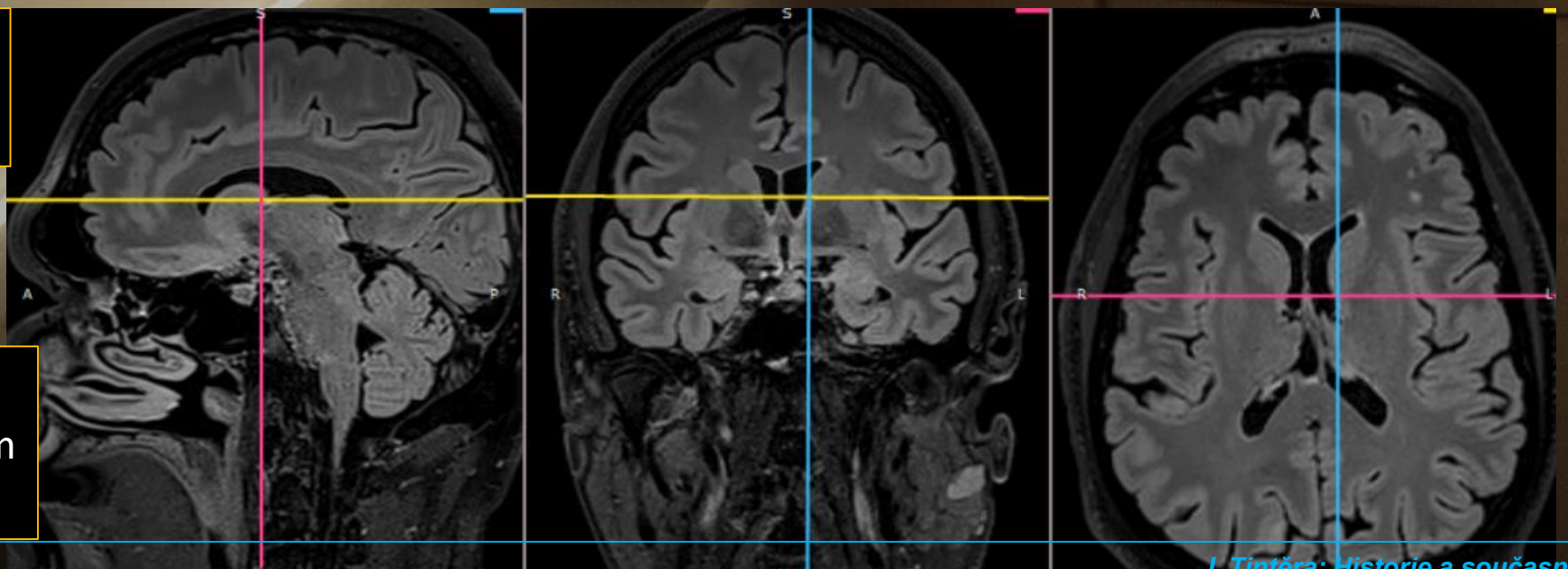
64-kanálová cívka
rozlišení: 0,7 x 0,7 x 0,7 mm
čas měření: 7 min



**T1 MPR
3D**

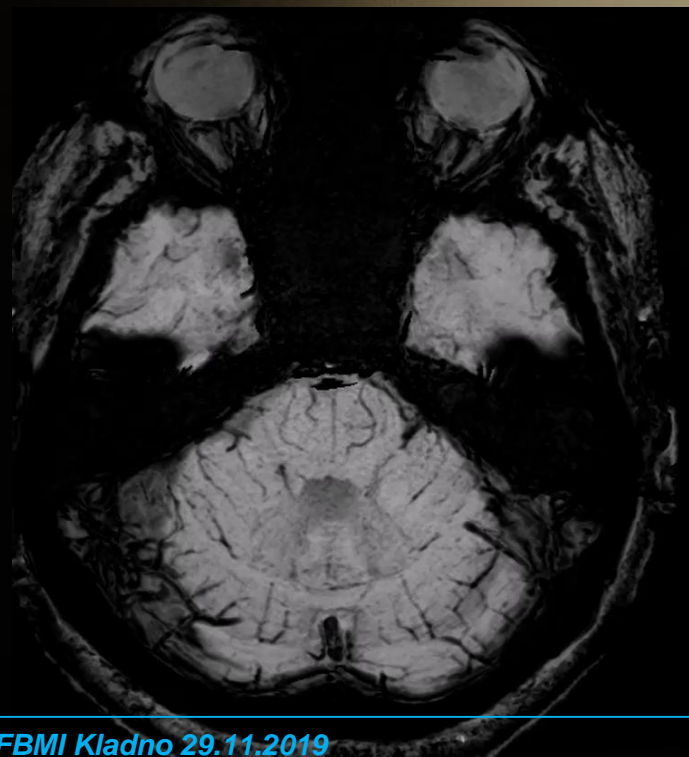
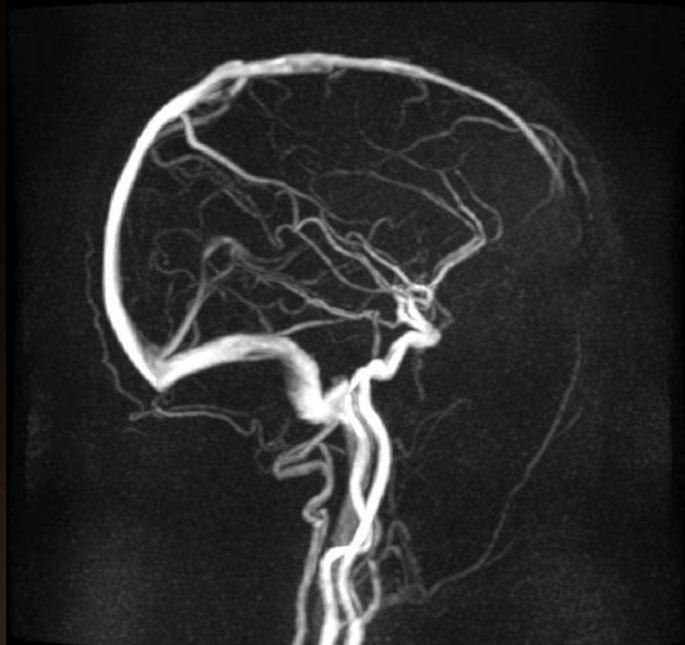
**FLAIR
3D**

64-kanálová cívka
rozlišení: 0,9 x 0,9 x 0,9 mm
čas měření: 8 min



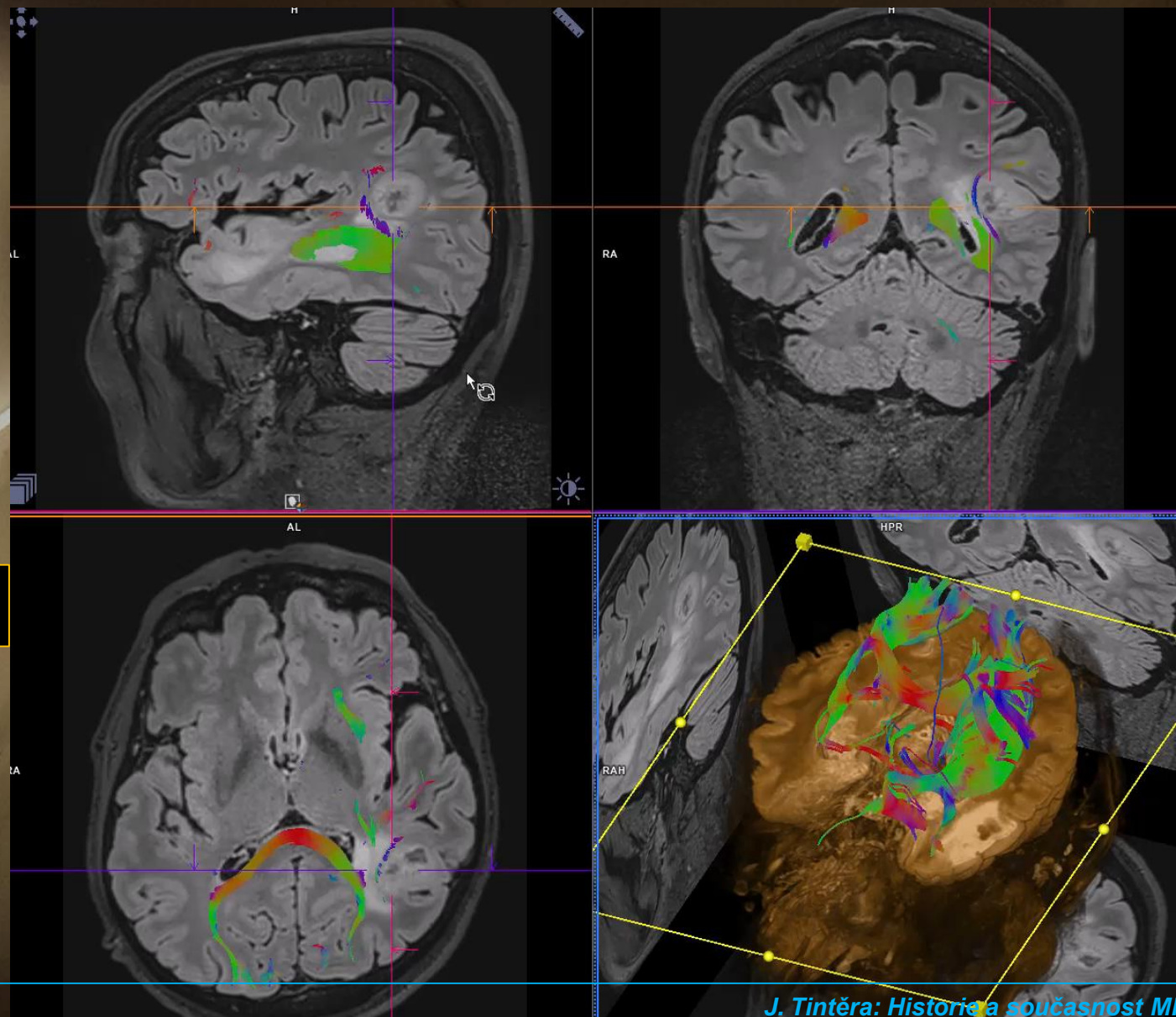
Siemens VIDA 3T 2019

Nativní
MRA
3D PC

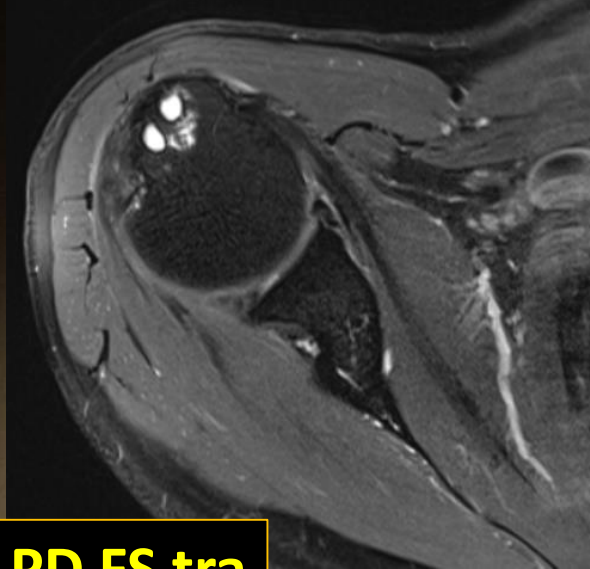


SWI

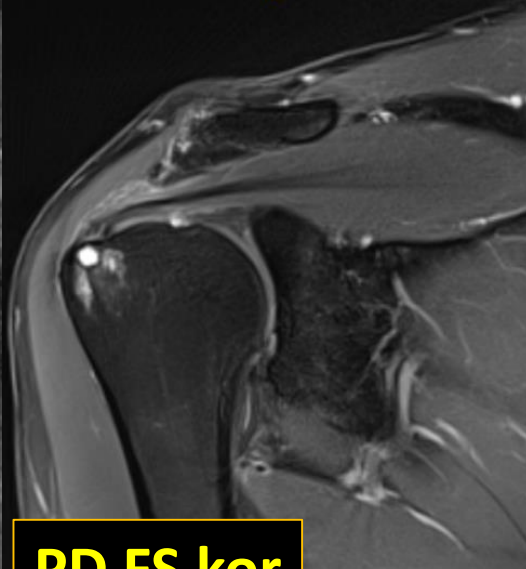
DTI



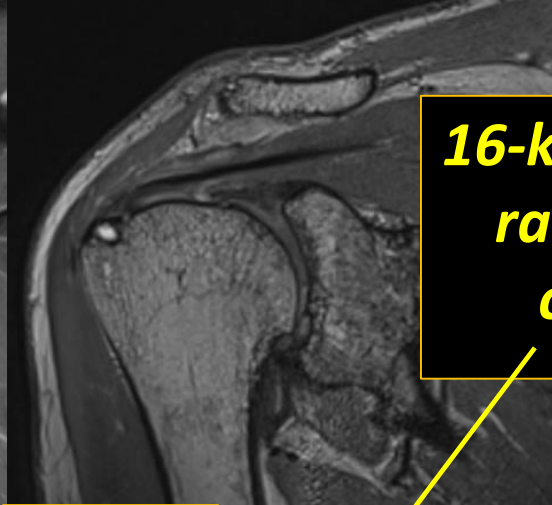
**Siemens
VIDA 3T
2019**



PD FS tra

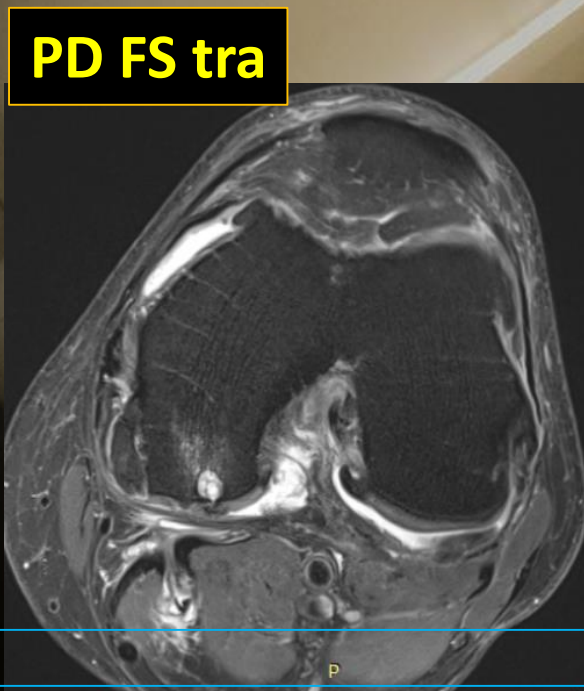


PD FS kor



**PD kor
3D**

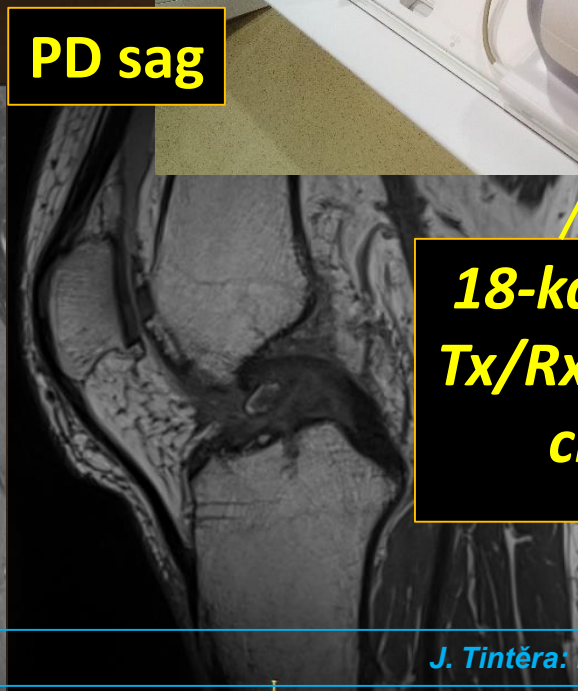
**16-kanálová
ramenní
cívka**



PD FS tra



PD FS sag



PD sag

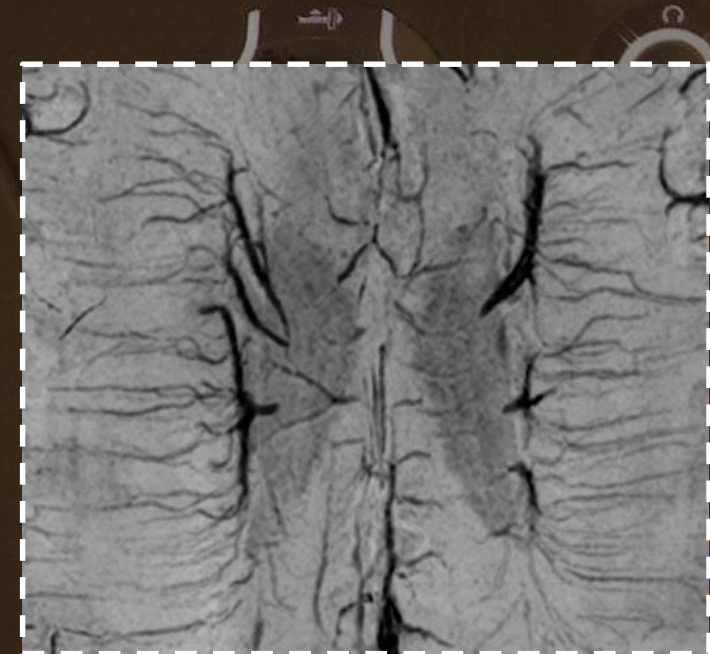
**18-kanálová
Tx/Rx kolenní
cívka**



S jídlém roste chuť **aneb** Ultra-high field 7T: nové možnosti zvýšit rozlišení

Poměr S/Š roste lineárně s polem

Submilimetrové rozlišení
a dobrý kontrast


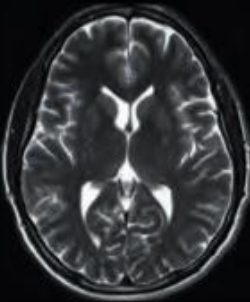
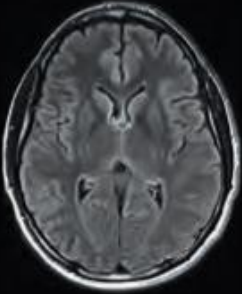
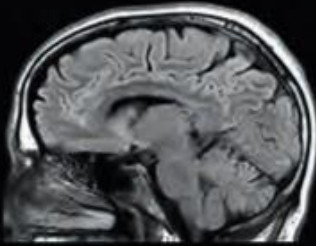
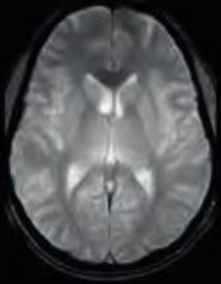
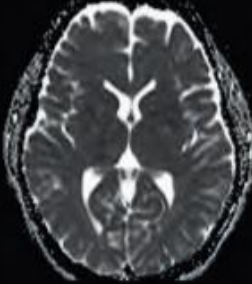

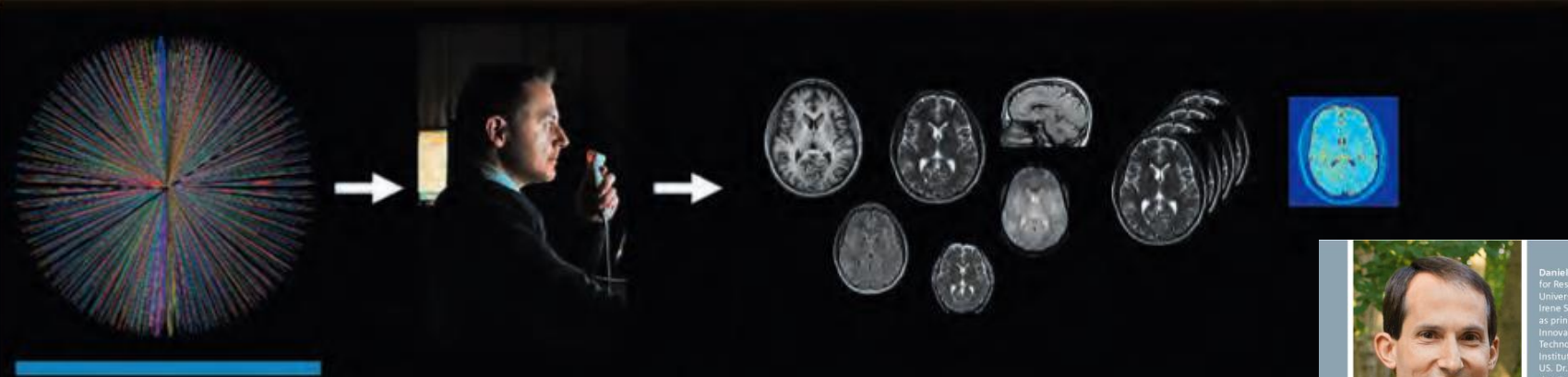


Lepší rozlišení a S/Š u DTI

BOLD efekt roste s polem:
leze dosáhnout
vyššího prostorového rozlišení u fMRI

Efekt susceptibility :
nové možnosti při SWI

Look to the future?

	T1 MPR	T2 TSE	Ax FLAIR	Sag FLAIR	HemoFlash	Diff (ADC)
Old						
						
	D	D	D	D	D	D
New						



Daniel K. Sodickson, Ph.D., M.D., is Professor and Vice Chair for Research in the Department of Radiology at New York University School of Medicine. He directs the Bernard and Irene Schwartz Center for Biomedical Imaging and serves as principal investigator of the Center for Advanced Imaging Innovation and Research (CAIIR), a new Biomedical Technology Resource Center supported by the National Institute of Biomedical Imaging and Bioengineering in the US. Dr. Sodickson was privileged to participate in the early development and clinical translation of parallel MRI, and his current research centers around the development of rapid comprehensive imaging approaches to provide diverse information for the improvement of human health. He is grateful to numerous colleagues around the world who are making possible the current rapid imaging renaissance.

The Rapid Imaging Renaissance

Konec...

